

Tymon Tomczykowski
Numer albumu: 320995
Opiekun pracy: mgr inż. Mateusz Sochacki

Praca przejściowa inżynierska

Porównanie metod modelowania pola grawitacyjnego

Data oddania: 13.09.2024

Ocena:

Spis treści

1 Wstęp	2
1.1 Metody	2
1.1.1 Metoda wielościanów (Polyhedral method)	3
1.1.2 Metoda punktów masy (Point masses method)	4
1.1.3 Metoda harmonik sferycznych (Spherical harmonics method)	5
2 Cel i zakres pracy	8
3 Analiza metod	10
3.1 Polyhedral method	10
3.2 Point masses method	12
3.3 Spherical Harmonics	13
3.3.1 Wpływ rozdzielczości modelu siatki	13
3.3.2 Wpływ stopnia rozwinięcia równania potencjału	14
4 Analiza na podstawie modelu (216) Kleopatra	16
5 Podsumowanie wyników	18
6 Kod programu	20
6.1 Klasy	20
6.2 Funkcje	35
6.3 Skrypty	39
Bibliografia	77

1 Wstęp

1.1 Metody

Modelowanie pola grawitacyjnego jest kluczowym elementem wielu aktywności podejmowanych w dziedzinie eksploracji i badania przestrzeni kosmicznej, takich jak planowanie misji kosmicznych czy prowadzenie obserwacji obiektów kosmicznych. Metody omawiane w tej pracy są stosowane najczęściej do relatywnie małych obiektów, których grawitacja nie jest na tyle silna aby ukształtować je w kształt zbliżony do sfery. W wyniku tego obiekty te mają często bardzo nieregularne kształty co sprawia, że ich pole grawitacyjne również jest nieregularne a jego modelowanie może być wyzwaniem.



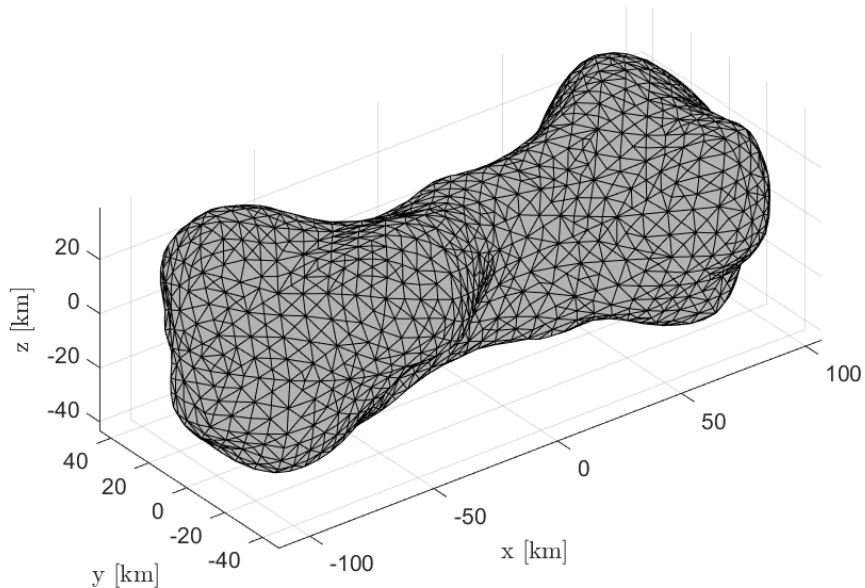
(a) 433 Eros [1]



(b) 216 Kleopatra [2]

Rysunek 1: Przykłady asteroid o nieregularnych kształtach

Modelowanie pola grawitacyjnego odbywa się w oparciu o trójkątną siatkę przybliżającą rzeczywisty obiekt uzyskaną w wyniku obserwacji astronomicznych. Sprawia to iż niemożliwe jest dokładne uzyskanie modelu pola grawitacyjnego i każda z porównywanych metod jedynie przybliża rzeczywiste pole.



Rysunek 2: Model trójkątnej siatki asteroidy 216 Kleopatra [3]

1.1.1 Metoda wielościanów (Polyhedral method)

Metoda wielościanów przedstawiona przez Robert A. Werner i Daniel J. Scheeres [4] opiera się na geometrii siatki i oferuje dokładne rozwiązanie równania potencjału przy założeniu jednorodnej gęstości obiektu. Oznacza to, że błąd w przypadku tej metody wynika jedynie z przybliżenia kształtu obiektu oraz w minimalnym stopniu z błędów obliczeniowych. Błąd metody maleje wraz z rosnącą rozdzielcością modelu siatki. Kolejną zaletą tej metody jest poprawność rozwiązania nie tylko poza obszarem obiektu ale również wewnątrz oraz na jego powierzchni. Sprawia to iż metoda ta jest bardzo użyteczna przy wyznaczaniu sił grawitacji działających na powierzchnię obiektu oraz przy badaniu dynamiki obiektów wystrzelonych z lub na powierzchnię obiektu. Wadą tej metody jest duży koszt obliczeniowy, który rośnie wraz z rozdzielcością modelu.

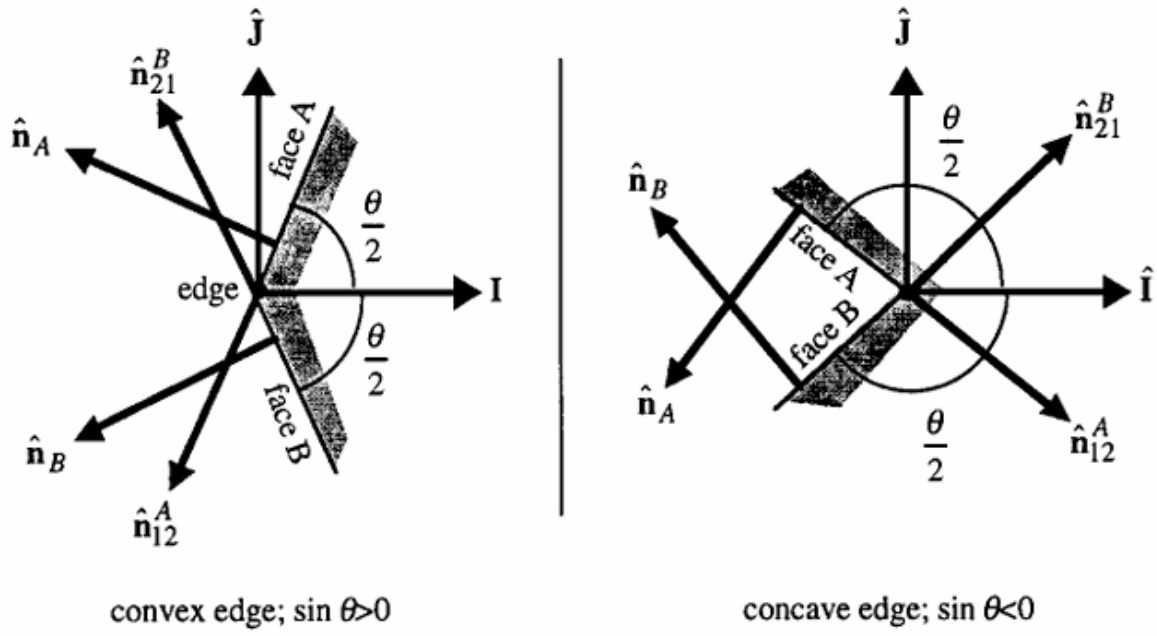
Ogólny wzór metody wygląda następująco:

$$U = \frac{1}{2}G\sigma \sum_{e \in \text{edges}} \mathbf{r}_e \bullet \mathbf{E}_e \cdot \mathbf{r}_e \cdot L_e - \frac{1}{2}G\sigma \sum_{f \in \text{faces}} \mathbf{r}_f \bullet \mathbf{F}_f \bullet \mathbf{r}_f \cdot \omega_f \quad (1)$$

Gdzie:

- U - potencjał grawitacyjny,
- G - stała grawitacji,
- σ - gęstość obiektu,
- e - kolejne krawędzie modelu,
- \mathbf{r}_e - wektor poprowadzony z punktu obliczeniowego do dowolnego punktu na krawędzi,
- $\mathbf{E}_e = \mathbf{E}_{12} = \hat{\mathbf{n}}_A \hat{\mathbf{n}}_{12}^A + \hat{\mathbf{n}}_B \hat{\mathbf{n}}_{21}^B$ - iloczyn diadyczny, interpretacja wektorów użytych we wzorze pokazano na rysunku 3
- $L_e^f = \int_e \frac{1}{r} ds = \ln \frac{a+b+e}{a+b-e}$ - gdzie a i b to odległości od punktu obliczeniowego do dwóch końców krawędzi a e to długość krawędzi ścianki,
- f - kolejne ścianki modelu,
- \mathbf{r}_f - wektor poprowadzony z punktu obliczeniowego do dowolnego punktu leżącego w płaszczyźnie ścianki,
- $\mathbf{F}_f \equiv \hat{\mathbf{n}}_f \hat{\mathbf{n}}_f$ - iloczyn diadyczny jednostkowych wektorów normalnych każdej ścianki skierowanych od środka modelu,
- $\omega_f = 2 \arctg \frac{\hat{\mathbf{r}}_1 \bullet \hat{\mathbf{r}}_2 \times \hat{\mathbf{r}}_3}{1 + \hat{\mathbf{r}}_1 \bullet \hat{\mathbf{r}}_2 + \hat{\mathbf{r}}_2 \bullet \hat{\mathbf{r}}_3 + \hat{\mathbf{r}}_3 \bullet \hat{\mathbf{r}}_1}$ - wielkość, która może być interpretowana jako pole powierzchni rzutu danej ścianki na jednostkową sferę o środku w punkcie obliczeniowym. Wektory znajdujące się we wzorze to wektory poprowadzone od punktu obliczeniowego do trzech kolejnych narożników ścianki.

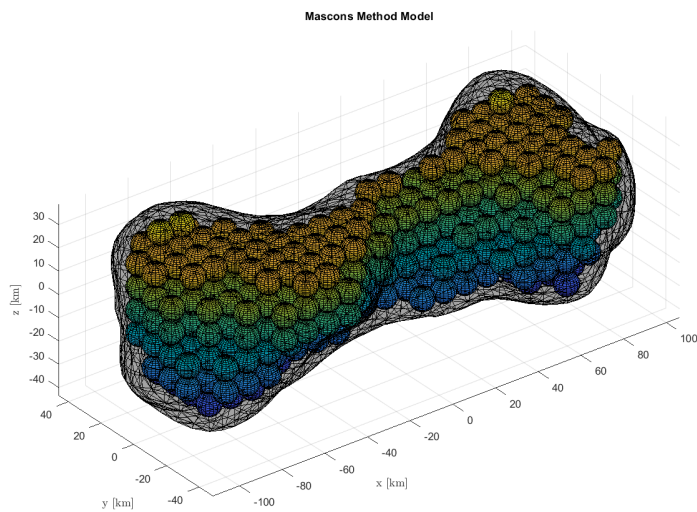
Szczegółowe wyprowadzenie powyższego wzoru wraz ze wskazówkami do implementacji można znaleźć w cytowanym wcześniej artykule autorstwa Robert A. Werner i Daniel J. Scheeres [4].



Rysunek 3: Interpretacja wektorów potrzebnych do obliczenia \mathbf{E}_e

1.1.2 Metoda punktów masy (Point masses method)

Metoda punktów masy polega na przybliżeniu oddziaływanego pola grawitacyjnego obiektu poprzez wypełnienie go dużą ilością punktów oraz przypisaniu im odpowiedniej masy tak aby sumaryczna masa punktów odpowiadała masie obiektu. Wynikiem jest model sumerycznego pola grawitacyjnego każdego z tych punktów. Zaletą tej metody jest jej prostota. Przydaje się przy początkowym przybliżaniu pola grawitacyjnego. Natomiast przy dużej ilości punktów koszt obliczeniowy może znacznie wzrosnąć i może się okazać, że inna metoda zagwarantuje większą dokładność jednocześnie niższym nakładem obliczeniowym.



Rysunek 4: Przykład podziału obiektu na punktowe masy

Wzór na potencjał grawitacyjny uzyskany z punktowych mas wraz z wyjaśnieniem symboli przedstawiono poniżej:

$$U = \sum_{i=1}^N \frac{GM_i}{|\mathbf{r} - \mathbf{r}_i|} \quad (2)$$

Gdzie:

- U - potencjał grawitacyjny,
- G - stała grawitacji,
- N - liczba punktów podziału,
- i - indeks symbolizujący kolejne punktowe masy,
- M_i - masa pojedyńczego punktu dobrana tak, że zachodzi zależność $\sum_{i=1}^N M_i = M_A$ gdzie M_A to masa całego obiektu,
- \mathbf{r} - wektor poprowadzony do punktu obliczeniowego z początku układu współrzędnych,
- \mathbf{r}_i - wektor poprowadzony do kolejnego punktu podziału z początku układu współrzędnych.

Podział na punktu odbywał się w następujący sposób:

1. Znaleziono prostopadłościan opisany na modelu obiektu,
2. Prostopadłościan podzielono na punkty odległe od siebie o zadaną wartość $2a$,
3. Odrzucono punkty, które znajdują się poza modelem obiektu lub które znajdują się w odległości mniejszej niż a od powierzchni modelu.

1.1.3 Metoda harmonik sferycznych (Spherical harmonics method)

Metoda harmonik sferycznych polega na rozwinięciu równania potencjału grawitacyjnego przy użyciu harmonik sferycznych. Metoda ta ma bogatą historię i jest powszechnie używana do modelowania potencjału (nie tylko grawitacyjnego). Głównym celem tej metody jest wyznaczenie współczynników, przy pomocy których można następnie małym nakładem obliczeniowym odtworzyć model potencjału grawitacyjnego. Istnieje wiele sposobów wyznaczania tych współczynników. W tej pracy wykorzystano sposób przedstawiony przez Roberta A. Werner [5]. Ogromną zaletą tej metody jest fakt iż główny koszt obliczeniowy dotyczy jedynie wyznaczenia współczynników. Na podstawie wyznaczonych wcześniej współczynników można następnie szybko i przy użyciu niskiej mocy obliczeniowej uzyskać wartość potencjału co sprawia iż metoda ta jest niezwykle użytkowa podczas misji kosmicznych gdy moc obliczeniowa komputera pokładowego satelity lub statku kosmicznego jest szczególnie cenna. Wadą tej metody jest brak możliwości łatwego wyznaczenia pola grawitacyjnego na powierzchni oraz wewnętrz obiektu. W tym celu należałyby prawdopodobnie korzystać z innych równań, których jednak nie udało się znaleźć w dostępnej literaturze zatem porównywana w tej pracy metoda harmonik sferycznych dotyczy jedynie punktów poza obszarem obiektu.

Poniżej podano wzór na potencjał grawitacyjny z użyciem tej metody oraz krótkie wyjaśnienie dotyczące obliczania współczynników.

$$U = \frac{GM}{r} \left\{ 1 + \sum_{n=1}^{\infty} \left(\frac{a}{r} \right)^n \sum_{m=0}^n P_{n,m}(\sin \phi) [C_{n,m} \times \cos(m\lambda) + S_{n,m} \sin(m\lambda)] \right\} \quad (3)$$

Gdzie:

- U - potencjał grawitacyjny,
- G - stała grawitacji,
- M - masa obiektu,
- r - odległość punktu obliczeniowego od początku układu współrzędnych,
- n - stopień wielomianu (dla $m = 0$) lub funkcji (dla $m > 0$) Legendre'a,
- m - rząd funkcji Legendre'a,
- a - promień sfery odniesienia czyli sfery opisanej na modelu,
- $P_{n,m}$ - wielomian (dla $m = 0$) lub funkcja (dla $m > 0$) Legendre'a obliczana przy pomocy funkcji ze środowiska *Matlab*,
- ϕ oraz λ - współrzędne kątowe punktu obliczeniowego,
- $C_{n,m}$ oraz $S_{n,m}$ - znormalizowane współczynniki harmoniczne.

Współczynniki harmoniczne obliczono przy pomocy następujących wzorów rekurencyjnych:
Współczynniki diagonalne:

$$n = 0 : \begin{bmatrix} \bar{c}_{0,0} \\ \bar{s}_{0,0} \end{bmatrix} = \frac{1}{M} \begin{bmatrix} 1 \\ 0 \end{bmatrix} \quad (4)$$

$$n = 1 : \begin{bmatrix} \bar{c}_{1,1} \\ \bar{s}_{1,1} \end{bmatrix} = \frac{1}{\sqrt{3}M} \begin{bmatrix} x'/a \\ y'/a \end{bmatrix} \quad (5)$$

$$n > 1 : \begin{bmatrix} \bar{c}_{n,n} \\ \bar{s}_{n,n} \end{bmatrix} = \frac{2n-1}{\sqrt{2n(2n+1)}} \times \begin{bmatrix} x'/a & -y'/a \\ y'/a & x'/a \end{bmatrix} \begin{bmatrix} \bar{c}_{n-1,n-1} \\ \bar{s}_{n-1,n-1} \end{bmatrix} \quad (6)$$

Współczynniki wertykalne ($m < n$ oraz $n > 1$):

$$\begin{bmatrix} \bar{c}_{n,m} \\ \bar{s}_{n,m} \end{bmatrix} = (2n-1) \sqrt{\frac{(2n-1)}{(2n+1)(n+m)(n-m)}} \frac{z'}{a} \begin{bmatrix} \bar{c}_{n-1,m} \\ \bar{s}_{n-1,m} \end{bmatrix} - \sqrt{\frac{(2n-3)(n+m-1)(n-m-1)}{(2n+1)(n+m)(n-m)}} \left(\frac{r'}{a} \right)^2 \times \begin{bmatrix} \bar{c}_{n-2,m} \\ \bar{s}_{n-2,m} \end{bmatrix} \quad (7)$$

Współczynniki subdiagonalne ($m = n - 1$):

$$\begin{bmatrix} \bar{c}_{n,n-1} \\ \bar{s}_{n,n-1} \end{bmatrix} = \frac{2n-1}{\sqrt{2n+1}} \frac{z'}{a} \begin{bmatrix} \bar{c}_{n-1,n-1} \\ \bar{s}_{n-1,n-1} \end{bmatrix} \quad (8)$$

Gdzie x' , y' i $'$ to współrzędne narożników kolejnych ścianek, których mnożenie z innymi współczynnikami odbywa się w sposób szczególny wyjaśniony w pracy autorstwa Roberta A. Werner [5]. Działanie to wiąże się z przedstawieniem współrzędnych jako specyficzne wielomiany trzeciego stopnia zwane z angielskiego *trinomials*. Otrzymane w ten sposób współczynniki należy jeszcze zmodyfikować w następujący sposób:

$$\begin{bmatrix} \bar{C}_{n,m} \\ \bar{S}_{n,m} \end{bmatrix} = \sigma \sum_{\text{simplices}} \left(\frac{\det J}{(n+3)!} \sum_{i+j+k=n} i!j!k! \begin{bmatrix} \bar{\alpha}_{i,j,k} \\ \bar{\beta}_{i,j,k} \end{bmatrix} \right) \quad (9)$$

Gdzie $\bar{\alpha}_{i,j,k}$ oraz $\bar{\beta}_{i,j,k}$ są odpowiednikami współczynników $\bar{c}_{n,m}$ oraz $\bar{s}_{n,m}$ zapisanymi znowu w postaci pewnych wielomianów trzeciego stopnia. Ostatecznie otrzymane współczynniki należy jeszcze znormalizować przy użyciu innego współczynnika:

$$N_{n,m} = \sqrt{(2 - \delta_{0,m}) (2n+1)(n-m)!/(n+m)!} \quad (10)$$

Gdzie $\delta_{0,m}$ to delta Kroneckera. Szczegółowe wyprowadzenie powyższych wzorów, interpretacje zmiennych oraz wskazówki implementacji można znaleźć w cytowanej wcześniej pracy [5].

2 Cel i zakres pracy

Celem pracy jest ogólne porównanie trzech powszechnych metod modelowania pola grawitacyjnego, przedstawienie ich zalet oraz wad.

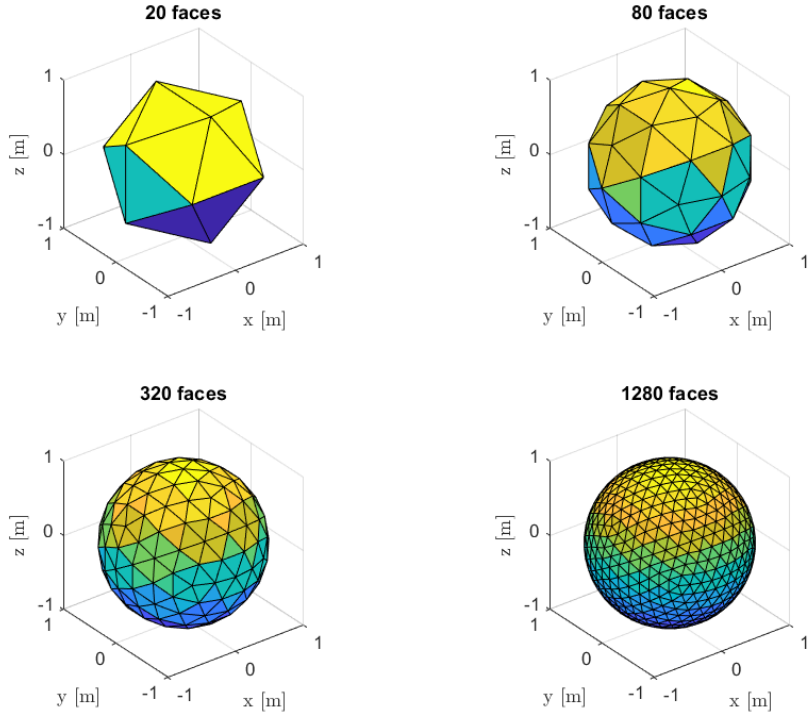
Wybrano trzy metody, które zostaną porównane zgodnie z metodyką opisaną poniżej. Przedstawione zostaną wyniki i opisane będą wnioski z nich wynikające. W celu porównania metody te zostały zaimplementowane z wykorzystaniem środowiska *Matlab*.

W pierwszej kolejności metody zostaną porównane z analitycznym rozwiązaniem równania potencjału dla sfery. W tym celu przygotowane zostaną cztery modele siatki przybliżające kształt sfery o różnej rozdzielczości przedstawione na rysunku 5. Dla każdej metody obliczony zostanie błąd względny wyznaczania potencjału oraz czas obliczeniowy. Błąd względny obliczony zostanie poprzez wyznaczenie wartości potencjału dla stu losowo wygenerowanych punktów i rozpatrzone zostaną dwa przypadki: gdy punkty znajdują się wewnątrz sfery oraz poza nią. Dla metody harmonik sferycznych zbadany zostanie jedynie przypadek gdy punkty znajdują się poza sferą gdyż metoda ta nie obejmuje innej możliwości. Należy również zaznaczyć, że czas obliczeniowy dla tej metody dotyczy wyznaczania wartości potencjału na podstawie współczynników a nie obliczania tych współczynników.

Dla metody wielościanów badany będzie wpływ rozdzielczości modelu siatki na dokładność wyników oraz czas obliczeniowy.

W przypadku metody punktów masy badany będzie natomiast wpływ ilości punktów podziału modelu.

Dla metody harmonik sferycznych rozpatrzone będą dodatkowe dwa przypadki: wpływ rozdzielczości modelu siatki oraz wpływ stopnia rozwinięcia równania potencjału.



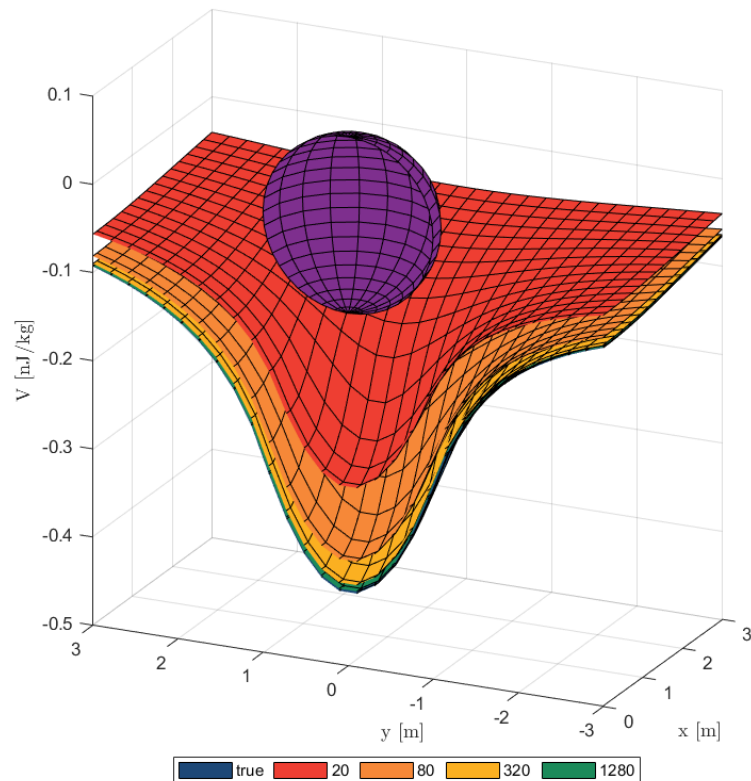
Rysunek 5: Modele siatki przybliżające kształt sfery o różnej rozdzielczości

Ze względu na matematyczny charakter metody harmonik sferycznych przypadek sfery jest wyjątkowo korzystny. To samo dotyczy metod punktów masy gdzie punkty w przypadku sfery rozkładane są symetrycznie, co skutkuje bardzo wysoką dokładnością dla przypadku punktów obliczeniowych poza aferą. Z tego względu przeprowadzone będzie dodatkowego porównania wszystkich trzech metod na przykładzie modelu asteroidy 216 Kleopatra. W tym przypadku zaniedbany zostanie błąd wynikający z przybliżenia kształtu rzeczywistego obiektu (model traktowany będzie jako dokładny na potrzeby porównania) co sprawi, że wynik uzyskany metodą wielościanów będzie mógł być uznany jako dokładny. Podejście takie jest stosowane w wielu pracach ([4], [6–8]).

3 Analiza metod

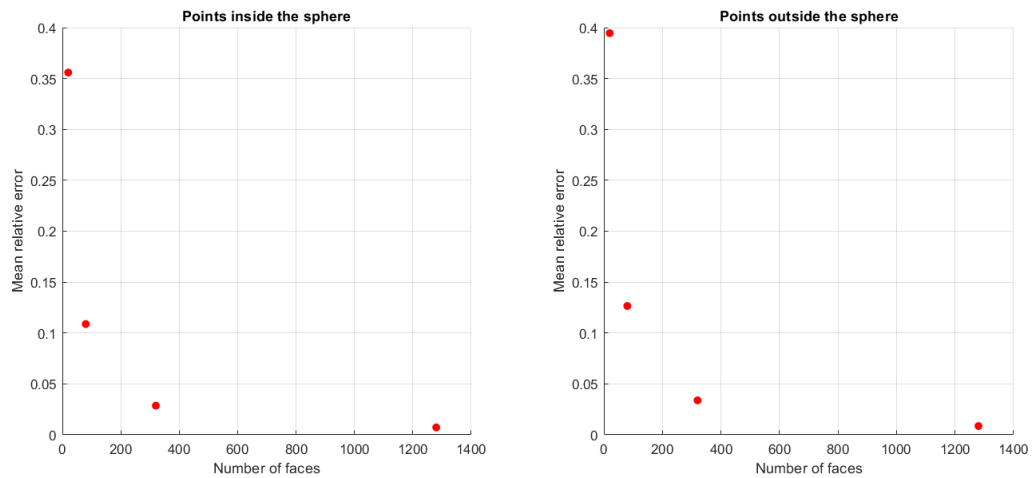
3.1 Polyhedral method

W metodzie wielościanów został przeanalizowany wpływ rozdzielczości modelu siatki na dokładność wyników oraz czas obliczeniowy. W pierwszej kolejności pokazano studnię potencjału dla czterech rozdzielczości siatki w porównaniu do wyniku dokładnego. Porównanie to przedstawiono na rysunku 6. Jak widać większa rozdzielcość siatki skutkuje lepiej dopasowanym kształtem studni.

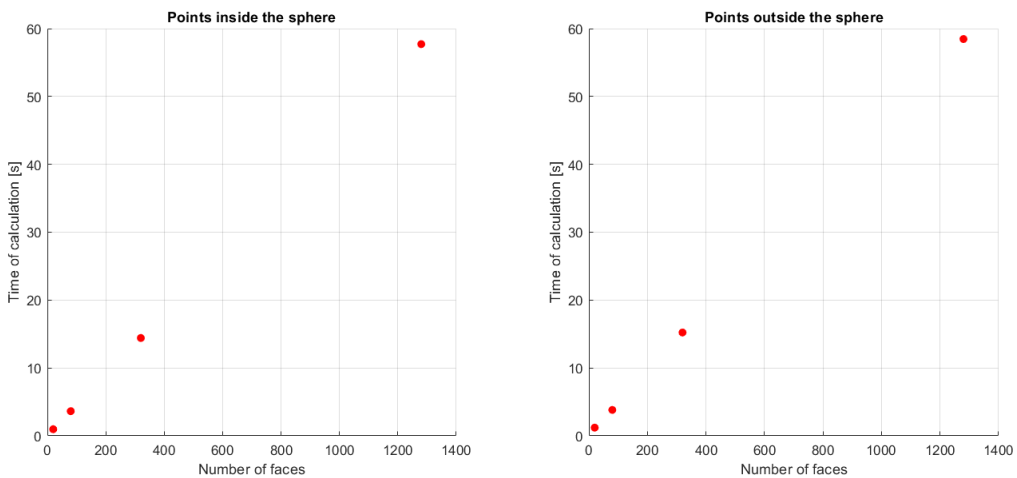


Rysunek 6: Porównanie studni potencjału dla różnej dokładności modelu

Kolejno dla 100 losowo wygenerowanych punktów obliczono średni błąd względny potencjału grawitacyjnego oraz sprawdzono czas obliczeń. Wyniki przedstawiono na rysunkach 7 oraz 8. Rozpatrzone również dwa przypadki: punkty obliczeniowe znajdujące się wewnątrz sfery oraz poza nią. Jak można zauważyć wykresy dla tych dwóch przypadków są bardzo zbliżone co potwierdza poprawność działania tej metody dla obu przypadków. Wartości na wykresach przedstawiających błąd względny maleją nieliniowo wraz ze wzrostem rozdzielczości. Na początku spadek ten jest duży aczkolwiek od pewnego momentu uzyskano niewielką poprawę dokładności przy dalszym zwiększaniu rozdzielczości siatki. Czas obliczeniowy rośnie natomiast w przybliżeniu liniowo.



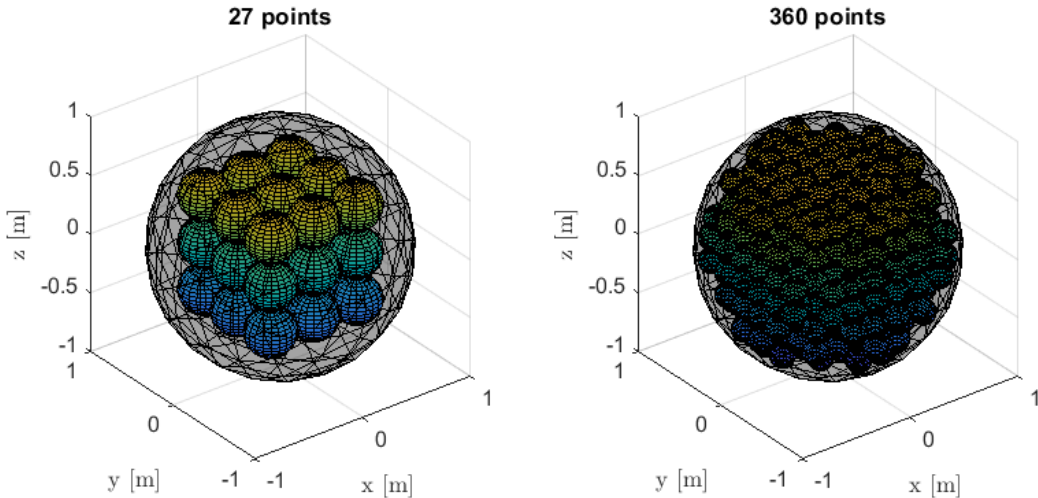
Rysunek 7: Wykresy zależności błędu względnego od liczby ścian modelu



Rysunek 8: Wykresy zależności czasu obliczeniowego od liczby ścian modelu

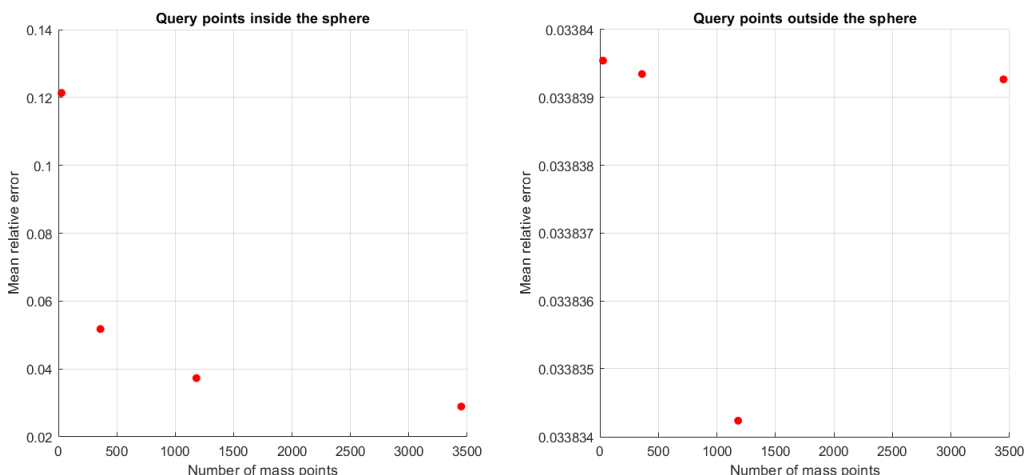
3.2 Point masses method

W metodzie punktów masy przeanalizowany został wpływ ilości punktów masy na dokładność oraz czas obliczeń. Sferę podzielono na kolejno 27, 360, 1181 oraz 3448 punktów. Wizualizację podziału dla pierwszych dwóch ilości punktów przedstawiono na rysunku 9.

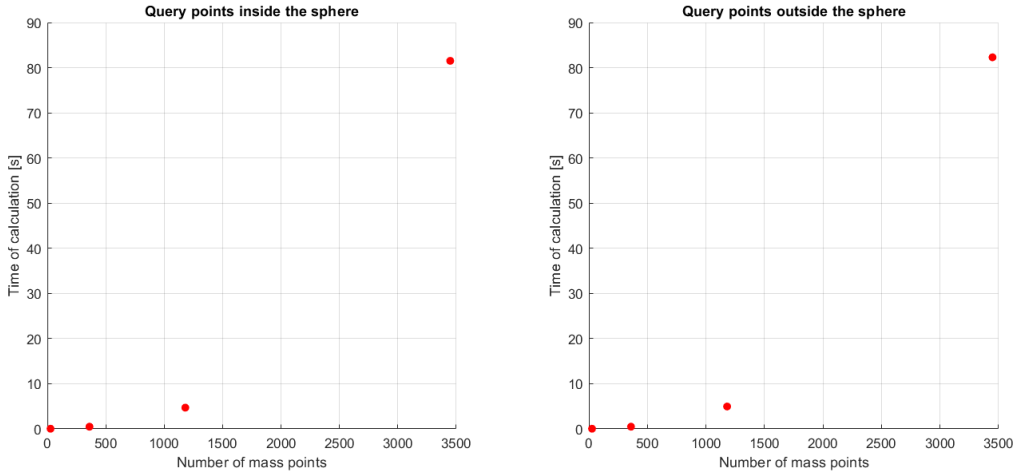


Rysunek 9: Wizualizacje podziału sfery na punkty

Na rysunku 10 przedstawiono wyniki dotyczące dokładności obliczeń, a na rysunku 11 wyniki dotyczące czasu obliczeniowego. Dla przypadku punktów obliczeniowych wewnętrznych sfery można zaobserwować nieliniowy wzrost dokładności wraz ze wzrostem ilości punktów. Natomiast dla przypadku punktów obliczeniowych poza sferą błąd względny jest niemal zaniedbywalny. Wiąże się to z symetrycznym rozkładem punktów masy wewnętrznych sfery co matematycznie sprowadza się do idealnego rozwiązania. Przypadek ten należy zatem traktować jako nieważny. Czas obliczeniowy dla obu przypadków nieliniowo wzrasta wraz z liczbą punktów masy.



Rysunek 10: Wykresy zależności błędów względnych od liczby punktów podziału



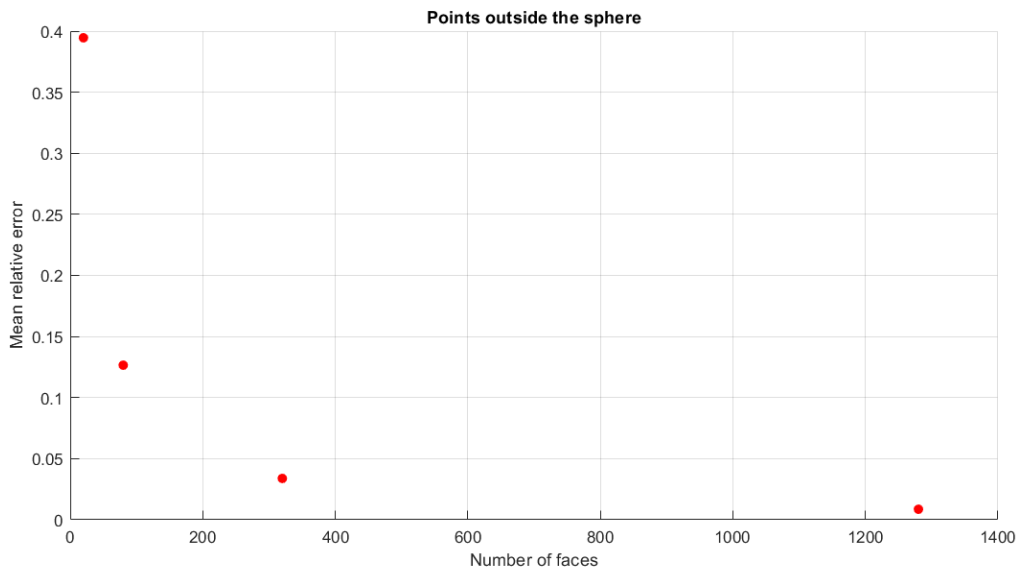
Rysunek 11: Wykresy zależności czasu obliczeniowego od liczby punktów podziału

3.3 Spherical Harmonics

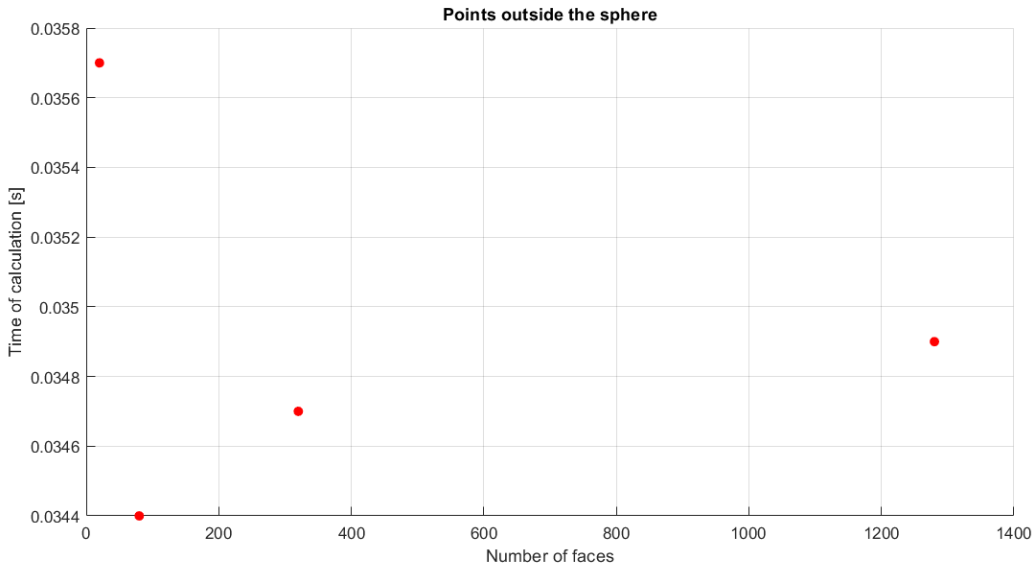
W metodzie harmonik sferycznych został zbadany wpływ rozdzielczości modelu siatki oraz stopnia rozwinięcia równania potencjału na dokładność i czas obliczeń.

3.3.1 Wpływ rozdzielczości modelu siatki

Wraz ze wzrostem rozdzielczości modelu, zgodnie z przewidywaniami, otrzymano wzrost dokładności rozwiązania co widać na rysunku 12. Czas obliczeniowy, z wyłączeniem pierwszego punktu, również wzrasta wraz z rozdzielczością co pokazane jest na rysunku 13. Są to natomiast na tyle małe różnice, że niekoniecznie należy sugerować się tym przypadkiem.



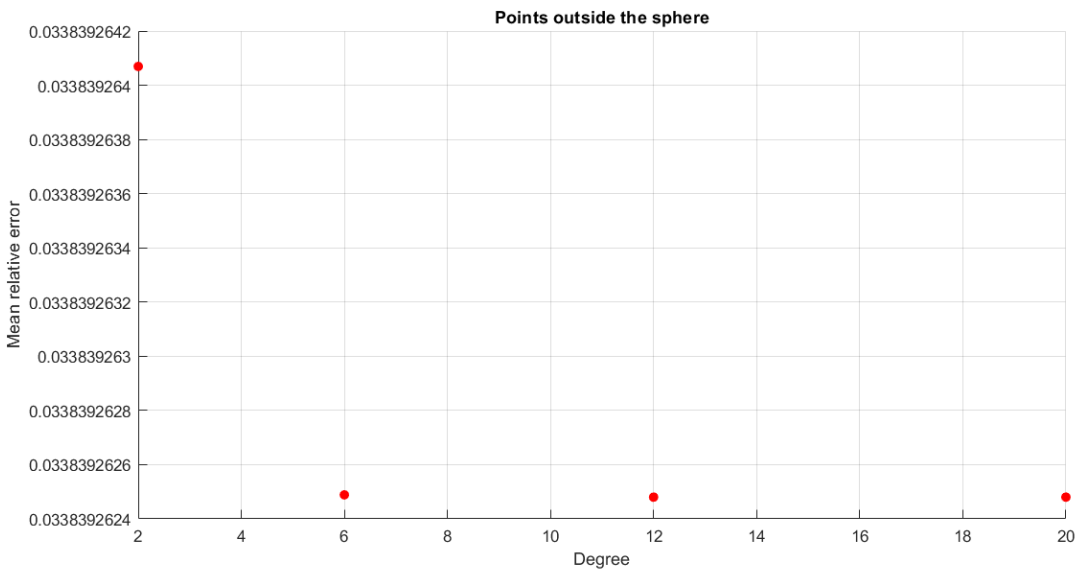
Rysunek 12: Wykres zależności błędu względnego od liczby ścian modelu



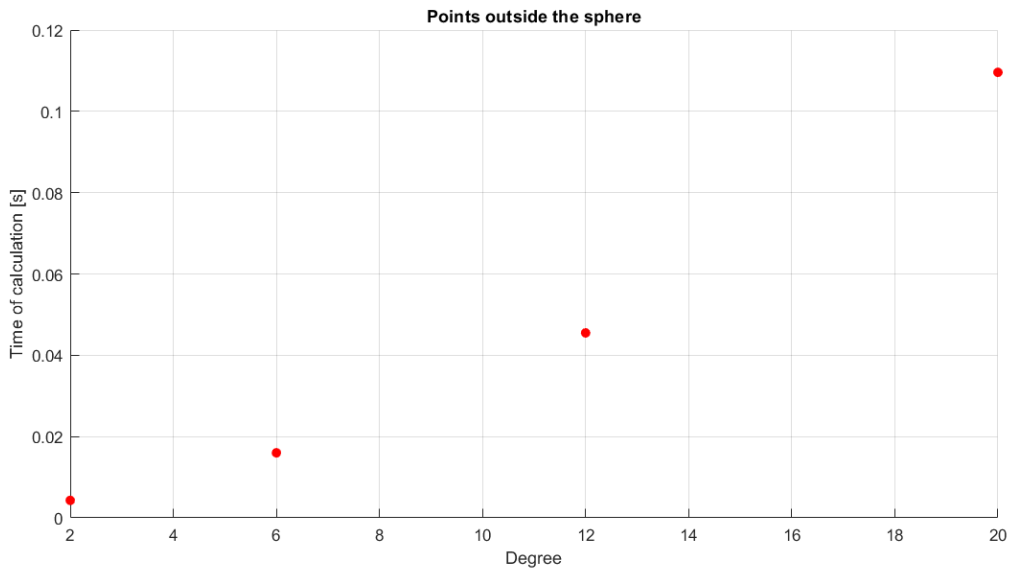
Rysunek 13: Wykres zależności czasu obliczeniowego od liczby ścian modelu

3.3.2 Wpływ stopnia rozwinięcia równania potencjału

Wpływ stopnia rozwinięcia równania potencjału badano dla modelu posiadającego 320 ścian. Jak widać na rysunku 14, już dla drugiego stopnia otrzymano bardzo wysoką dokładność a następnie dalsze zwiększanie wartości stopnia rozwinięcia nie skutkowało w poprawie wyników. Wiąże się to prawdopodobnie z przyjęciem sfery jako model testowy co idealnie wpisuje się w charakter matematyczny metody i już pierwszy stopień rozwinięcia opisywałby bardzo dobrze model pola grawitacyjnego. Błąd osiągnięty dla 6, 12 oraz 20 stopnia prawdopodobnie wynika w dużym stopniu jedynie z modelu siatki. Czas obliczeniowy natomiast, nieliniowo rośnie wraz ze zwiększeniem stopnia rozwinięcia co widać na rysunku 15.



Rysunek 14: Wykres zależności błędu względnego od stopnia rozwinięcia równania potencjału

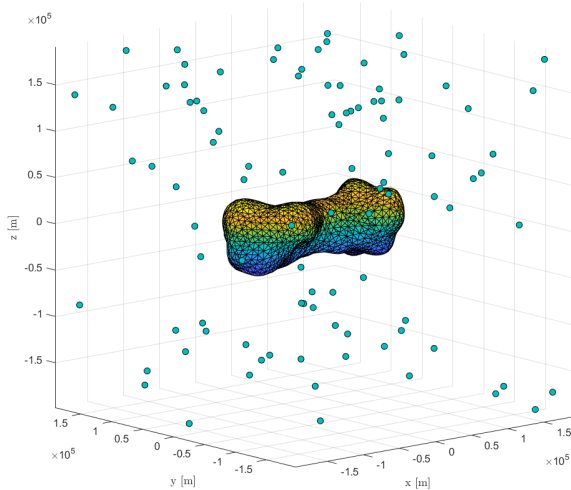


Rysunek 15: Wykres zależności czasu obliczeniowego od stopnia rozwinięcia równania potencjału

4 Analiza na podstawie modelu (216) Kleopatra

Ze względu na osobliwości opisane w ??, 3.2 oraz 3.3.2, rozpatrzone dodatkowy przypadek na przykładzie asteroidy (216) Kleopatra [9]. Zdecydowano się na ten obiekt z powodu wyjątkowo nieregularnego kształtu oraz dużej dostępności danych. Użyty model siatki asteroidy pochodzi z [3]. Gęstość asteroidy założono jako stałą w całej objętości i równą $\rho = 3600 \frac{kg}{m^3}$ [10].

Model asteroidy, na potrzeby analizy metod, został uznany jako dokładny co sprawia, że wyniki uzyskane metodą wielościanów również można uznać za dokładne gdyż błędy w tej metodzie wynikają głównie z niedokładności modelu. W ten sposób metody punktów masy oraz harmonik sferycznych mogą być porównane w odniesieniu do metody wielościanów. Podejście to jest powszechnie w literaturze ([4], [6–8]).



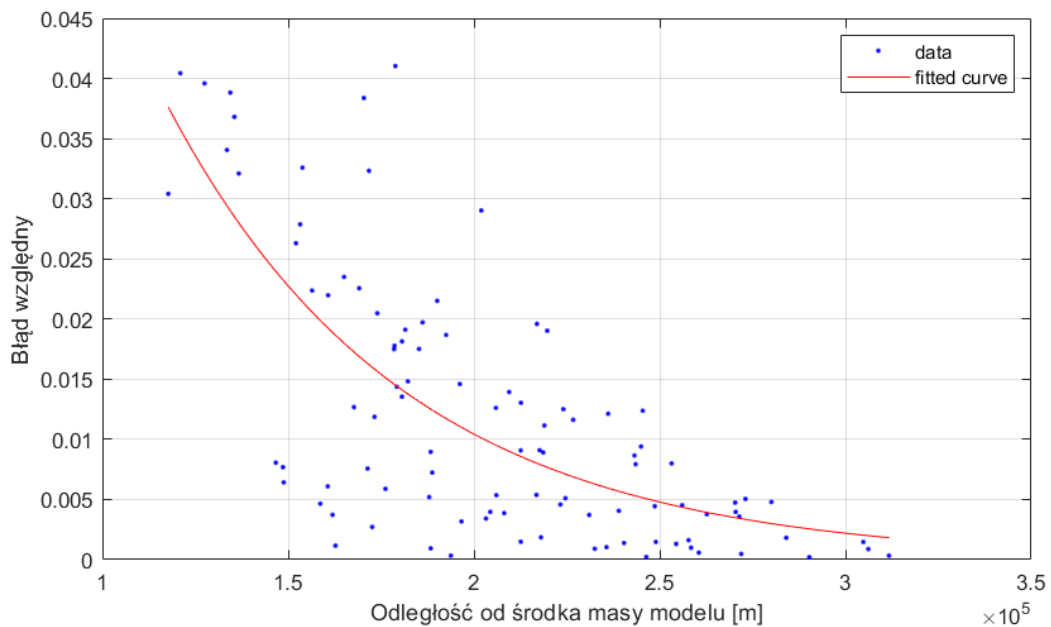
Rysunek 16: Wizualizacja wygenerowanych punktów

W celu analizy metod, zostało losowo wygenerowane 100 punktów znajdujących się w zakresie od 114 km do 312 km od środka masy modelu asteroidy. Wizualizacja wygenerowanych punktów przedstawiona jest na rysunku 16. Dolna granica jest jednocześnie promieniem odniesienia dla metody harmonik sferycznych czyli sferą opisaną na modelu asteroidy. Metoda harmonik sferycznych dla punktów znajdujących się poniżej tej granicy może generować bardzo wysokie błędy, które zaburzyłyby ogólny wynik. Dla wygenerowanych w ten sposób punktów obliczono potencjał grawitacyjny przy użyciu metod punktów masy oraz harmonik sferycznych, a następnie policzono błędy względne względem metody wielościanów oraz zmierzono czas obliczeniowy. W metodzie punktów masy analizowano trzy przypadki: 13, 86 oraz 1018 punktów podziału modelu. W metodzie harmonik sferycznych analizowano trzy stopnie rozwinięcia równania potencjału: 4, 10 oraz 50 stopnia. Wyniki zostały przedstawione w tabeli 1.

Tabela 1: Wyniki analizy na przykładzie (216) Kleopatra

Metoda	Wielościanów	Punktów masy			Harmonik sferycznych		
Przypadek	-	13 punktów	86 punktów	1018 punktów	4 stopnia	10 stopnia	50 stopnia
Czas obliczeniowy [s]	179.16	0.013	0.037	0.394	0.028	0.041	0.699
Błąd względny [%]	-	1.27	0.6	0.13	1.23	1.19	1.19

Dodatkowo na rysunku 17 przedstawiono wykres zależności błędu względnego od odległości punktów obliczeniowych od środka masy modelu dla metody harmonik sferycznych 50 stopnia.

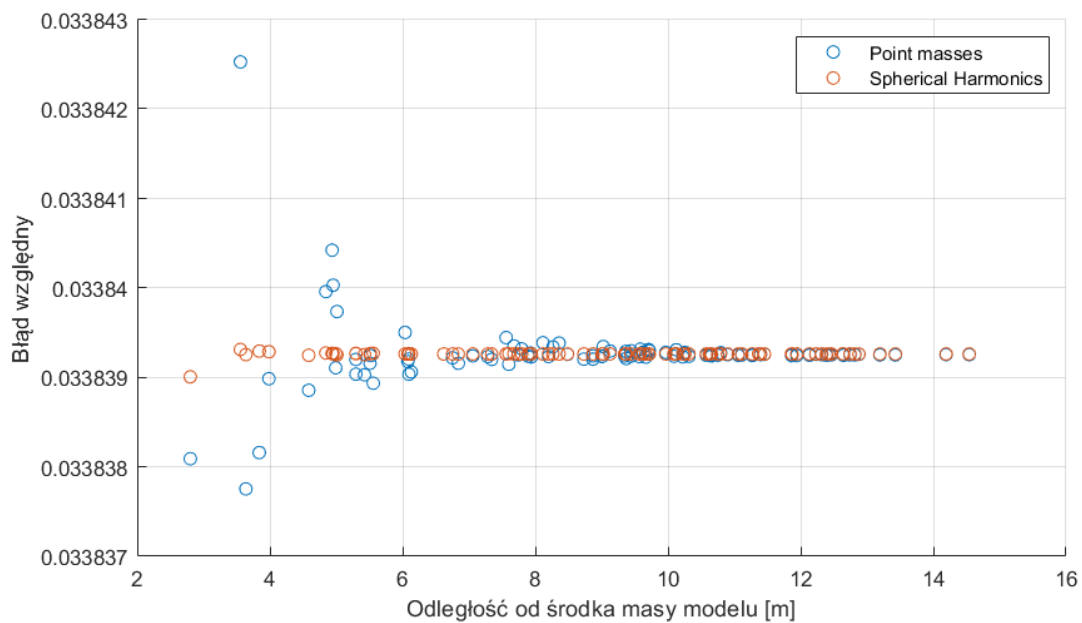


Rysunek 17: Wykres błędu względnego dla metody harmonik sferycznych 50 stopnia

5 Podsumowanie wyników

Główna zaletą metody wielościanów jest fakt, iż niedokładność tej metody zależy głównie od dokładności modelu. W przypadku gdy dysponuje się modelem o wysokiej dokładności może ona się okazać najtrajniejszą do pewnych zastosowań. Może także służyć jako odniesienie przy porównywaniu innych metod. Dużą zaletą jest również brak ograniczeń jeśli chodzi punkty obliczeniowe oraz kształt modelu czego nie można powiedzieć o na przykład metodzie harmonik sferycznych. Wadą natomiast jest czas obliczeniowy potrzebny do uzyskania danej dokładności wyników, który jest znacznie większy niż w przypadku pozostałych dwóch metod. Ten fakt mocno ogranicza zastosowanie tej metody.

Metoda punktów masy cechuje się wyjątkową prostą. Sprawdziła się lepiej niż metoda harmonik sferycznych w przypadku na przykładzie asteroidy (216) Kleopatra. Nie posiada również ograniczeń jeśli chodzi o położenie punktów obliczeniowych a potencjalny kolisty kształt modelu może działać na korzyść w przypadku punktów obliczeniowych oddalonych od powierzchni modelu. Potencjalne wady mogą pojawić się w przypadku punktów obliczeniowych zlokalizowanych blisko powierzchni modelu. Przejaw tego widać na dodatkowym rysunku 18. Wyniki przedstawione na tym wykresie zostały obliczone dla modelu sfery posiadającego 320 ścian. Liczba punktów podziału dla metody punktów masy wynosi 3448 natomiast stopień metody harmonik sferycznych 20. Jak widać w najbliższym otoczeniu sfery błęd metody punktów masy jest bardziej rozstrzelony. Obliczenia dla metody punktów masy zajęły ponad 80 sekund gdzie dla metody harmonik sferycznych było to mniej niż 0.12 sekundy.



Rysunek 18: Porównanie zachowania metody punktów masy i harmonik sferycznych dla punktów w pobliżu powierzchni

Głównymi zaletami metody harmonik sferycznych są szybki czas obliczeniowy, wygodny format przechowywania wartości współczynników oraz rekurencyjny charakter metody co sprawia, że jest ona tak popularna. Ograniczeniem jest potencjalny brak możliwości modelowania pola

grawitacyjnego wewnątrz modelu lub konieczność użycia innych zależności matematycznych. Wadą są również potencjalne wysokie wartości błędów wewnątrz sfery odniesienia dla obiektów o kształcie bardzo odbiegającym od sfery o czym mowa w rozdziale 4. Natomiast podczas analizy na przykładzie sfery metoda ta sprawdziła się lepiej w pobliżu powierzchni niż metoda punktów masy.

6 Kod programu

6.1 Klasy

```
1 classdef polyhedron_obj < handle
2 properties
3     stl_model
4     V {mustBeNumeric}
5     r {mustBeNumeric}
6 end
7
8 methods
9     function obj = polyhedron_obj(model)
10    arguments
11        model triangulation
12    end
13
14    obj.stl_model = model;
15 end
16
17 function V = calculate(obj,r,bulk_density, opt1)
18 arguments
19     obj polyhedron_obj
20     r double
21     bulk_density double
22     opt1.Test_plot char
23 end
24 if ~isfield(opt1,"Test_plot")
25     opt1.Test_plot = 'off';
26 end
27
28
29 set_of_edges = obj.stl_model.edges;
30 set_of_faces = obj.stl_model.ConnectivityList;
31 set_of_n_f = faceNormal(obj.stl_model);
32 G = 6.6743e-11;
33
34 sum_e = zeros(length(r(:,1)),1);
35 sum_f = zeros(length(r(:,1)),1);
36
37 w_f_check = 0;
38
39 for i = 1:length(r(:,1))
40     rq = r(i,:);
41     for k = 1:length(set_of_edges(:,1))
42         edge = set_of_edges(k,:);
```

```

43     p_a = obj.stl_model.Points(edge(1),:);
44     p_b = obj.stl_model.Points(edge(2),:);
45     E_e = get_E_e(obj.stl_model,edge,opt1.Test_plot
46     );
47     L_e = get_L_e(rq,p_a,p_b);
48     r_e = get_r_ef(rq,p_a);
49
50     sum_e(i,1) = sum_e(i,1) + (L_e * r_e * E_e *
51     r_e');
52
53 end
54
55 for k = 1:length(set_of_faces(:,1))
56     face = set_of_faces(k,:);
57     face_points = obj.stl_model.Points(face',:);
58     n_f = set_of_n_f(k,:);
59     F_f = get_F_f(n_f);
60     w_f = get_w_f(rq,face_points);
61     w_f_check = w_f_check + w_f;
62     r_f = get_r_ef(rq,face_points(1,:));
63     sum_f(i,1) = sum_f(i,1) + (w_f * r_f * F_f *
64     r_f');
65 end
66 disp([num2str(i) '/' num2str(length(r(:,1)))]);
67
68 end
69
70
71
72
73 function axes = plot_V(obj, r, scale, opt2)
74     arguments
75         obj polyhedron_obj
76         r double
77         scale double
78         opt2.Units char
79     end
80     if ~isfield(opt2,"Units")
81         opt2.Units = 'm';
82     end
83
84     unit_scale = 1;
85
86     model_temp = obj.stl_model;

```

```

87     if strcmp(opt2.Units, 'km')
88         unit_scale = 1/1000;
89         model_temp = triangulation(model_temp.
90             ConnectivityList, model_temp.Points * unit_scale)
91             ;
92     end
93
94     figure();
95     % trisurf(model_temp, 'FaceColor', 'black', 'FaceAlpha
96     % , 0.2);
97     % hold on;
98
99     if strcmp(opt2.Units, 'km')
100        unit_scale = 1/1000;
101        x_surf = r(:,1)*unit_scale;
102        y_surf = r(:,2)*unit_scale;
103        z_surf = obj.V*scale*unit_scale;
104    elseif strcmp(opt2.Units, 'm')
105        x_surf = r(:,1)*unit_scale;
106        y_surf = r(:,2)*unit_scale;
107        z_surf = obj.V*scale*unit_scale;
108    end
109
110
111     % xv = linspace(min(x_surf), max(x_surf), 50);
112     % yv = linspace(min(y_surf), max(y_surf), 50);
113     % [X_surf, Y_surf] = meshgrid(xv, yv);
114     % Z_surf = griddata(x_surf, y_surf, z_surf, X_surf, Y_surf)
115     % ;
116     X_surf = reshape(x_surf,[sqrt(length(x_surf)),sqrt(
117         length(x_surf))]);
118     Y_surf = reshape(y_surf,[sqrt(length(x_surf)),sqrt(
119         length(x_surf))]);
120     Z_surf = reshape(z_surf,[sqrt(length(x_surf)),sqrt(
121         length(x_surf))]);
122     surf(X_surf, Y_surf, Z_surf);
123     xlabel(['x [',opt2.Units, ']'], 'Interpreter', 'latex');
124     ylabel(['y [',opt2.Units, ']'], 'Interpreter', 'latex');
125     zlabel(['z [',opt2.Units, ']'], 'Interpreter', 'latex');
126     title('Polyhedron Method Gravitational Potential');
127     % axis equal;
128     cb = colorbar;
129     set(cb, 'TickLabels', cb.Ticks/(scale*unit_scale));
130     cb.Label.String = 'V [J/kg]';
131     axes = gca;
132
133 end

```

```

127     function write_V(obj, fname)
128         V_fname = ['poly_V_', fname, '.txt'];
129         V_fpath = fullfile(pwd, "Input_data", "Potential_data",
130                             V_fname);
130         writematrix([obj.r, obj.V], V_fpath);
131     end
132 end
133

```

```

1 classdef mascons_obj < handle
2 properties
3     stl_model % model of the asteroid
4     points {mustBeNumeric} % positions of the mascons points
5     R {mustBeNumeric} % radius of the spheres
6     V {mustBeNumeric} % gravitational potential
7     M_i {mustBeNumeric} % mass of one point
8     r {mustBeNumeric} % query points
9 end
10
11 methods
12     function obj = mascons_obj(model, mas_r, bulk_density) %
13         % constructor, divides objects into mascons
14         arguments
15             model triangulation
16             mas_r double
17             bulk_density double
18         end
19
20         cub_minmax = [min(model.Points); max(model.Points)];
21
22         mas_p_x = (cub_minmax(1,1)+mas_r:mas_r*2:cub_minmax
23                     (2,1)-mas_r)';
24         mas_p_y = (cub_minmax(1,2)+mas_r:mas_r*2:cub_minmax
25                     (2,2)-mas_r)';
26         mas_p_z = (cub_minmax(1,3)+mas_r:mas_r*2:cub_minmax
27                     (2,3)-mas_r)';
28
29         [mas_grid_x, mas_grid_y, mas_grid_z] = ndgrid(mas_p_x,
30               mas_p_y, mas_p_z);
31         mas_grid_p = [mas_grid_x(:) mas_grid_y(:) mas_grid_z(:)
32                         ];
33
34         in = inpolyhedron(model.ConnectivityList, model.Points,
35                           mas_grid_p);
36
37         mas_grid_p = [mas_grid_p(in==1,1), mas_grid_p(in==1,2),
38                       mas_grid_p(in==1,3)];

```

```

31
32     model_new.vertices = model.Points;
33     model_new.faces = model.ConnectivityList;
34
35     err = 1e-15;
36
37     [dist, ~] = point2trimesh(model_new, 'QueryPoints',
38         mas_grid_p);
38     in2 = (abs(dist)+err)>=mas_r;
39
40     mas_grid_p = [mas_grid_p(in2==1,1),mas_grid_p(in2==1,2)
41                   ,mas_grid_p(in2==1,3)];
42
43     obj.stl_model = model;
44     obj.points = mas_grid_p;
45     obj.R = mas_r;
46
47     Vol = stlVolume(obj.stl_model.Points',obj.stl_model.
48         ConnectivityList');
49     M = bulk_density * Vol;
50     obj.M_i = M/length(obj.points(:,1));
51 end
52
53 function calculate(obj,r) % method calculating
54     gravitational potential
55
56     G = 6.6743e-11;
57
58     obj.V = zeros(length(r(:,1)),1);
59
60     for i = 1:length(r(:,1))
61         rq = r(i,:);
62         for k = 1:length(obj.points(:,1))
63             obj.V(i,1) = obj.V(i,1) + -(G * obj.M_i/(norm(
64                 rq - obj.points(k,:))));
65         end
66     end
67     obj.r = r;
68 end
69
70 function axes = plot_mascons(obj,opt1,opt2) % method
71     plotting mascons model
72     arguments
73         obj mascons_obj
74         opt1.Spheres char
75         opt2.Units char
76     end

```

```

72
73     if ~isfield(opt1,"Spheres")
74         opt1.Spheres = 'off';
75     end
76     if ~isfield(opt2,"Units")
77         opt2.Units = 'm';
78     end
79
80     model_temp = obj.stl_model;
81     if strcmp(opt2.Units,'km')
82         unit_scale = 1/1000;
83         model_temp = triangulation(model_temp.
84             ConnectivityList,model_temp.Points * unit_scale)
85         ;
86     end
87
88     trisurf(model_temp,'FaceColor','black','FaceAlpha',0.2)
89         ;
90     hold on;
91     if strcmp(opt1.Spheres,'on')
92
93         for i = 1:length(obj.points(:,1))
94             [x_s, y_s, z_s] = sphere;
95             x_s = x_s * obj.R + obj.points(i,1);
96             y_s = y_s * obj.R + obj.points(i,2);
97             z_s = z_s * obj.R + obj.points(i,3);
98             if strcmp(opt2.Units,'km')
99                 surf(x_s./1000,y_s./1000,z_s./1000);
100             elseif strcmp(opt2.Units,'m')
101                 surf(x_s,y_s,z_s,'LineWidth',0.1);
102             end
103         end
104     else
105         % scatter3(obj.points(:,1), obj.points(:,2), obj.
106             points(:,3), 'red');
107     end
108     hold off;
109     xlabel(['x [',opt2.Units,']'],'Interpreter','latex');
110     ylabel(['y [',opt2.Units,']'],'Interpreter','latex');
111     zlabel(['z [',opt2.Units,']'],'Interpreter','latex');
112     title([num2str(length(obj.points(:,1))), ' points']);
113     axis equal;
114     axes = gca;
115 end
116
117 function axes = plot_V(obj, r, scale, opt2) % method
118     % plotting gravitational potential

```

```

114     arguments
115         obj mascons_obj
116         r double
117         scale double
118         opt2.Units char
119     end
120     if ~isfield(opt2,"Units")
121         opt2.Units = 'm';
122     end
123
124     unit_scale = 1;
125
126     model_temp = obj.stl_model;
127     if strcmp(opt2.Units,'km')
128         unit_scale = 1/1000;
129         model_temp = triangulation(model_temp.
130             ConnectivityList,model_temp.Points * unit_scale)
131         ;
132     end
133
134     figure();
135     trisurf(model_temp,'FaceColor','black','FaceAlpha',0.2)
136         ;
137     hold on;
138
139     if strcmp(opt2.Units,'km')
140         unit_scale = 1/1000;
141         x_surf = r(:,1)*unit_scale;
142         y_surf = r(:,2)*unit_scale;
143         z_surf = r(:,3)*unit_scale+obj.V*scale*unit_scale;
144     elseif strcmp(opt2.Units,'m')
145         x_surf = r(:,1)*unit_scale;
146         y_surf = r(:,2)*unit_scale;
147         z_surf = r(:,3)*unit_scale+obj.V*scale*unit_scale;
148     end
149
150
151     xv = linspace(min(x_surf), max(x_surf), 50);
152     yv = linspace(min(y_surf), max(y_surf), 50);
153     [X_surf,Y_surf] = meshgrid(xv, yv);
154     Z_surf = griddata(x_surf,y_surf,z_surf,X_surf,Y_surf);
155     surf(X_surf, Y_surf, Z_surf);
156     xlabel(['x [',opt2.Units,']'],'Interpreter','latex');
157     ylabel(['y [',opt2.Units,']'],'Interpreter','latex');
158     zlabel(['z [',opt2.Units,']'],'Interpreter','latex');
159     title('Mascons Method Gravitational Potential');

```

```

158     axis equal;
159     cb = colorbar;
160     set(cb, 'TickLabels', cb.Ticks/(scale*unit_scale));
161     cb.Label.String = 'V [J/kg]';
162     axes = gca;
163 end
164
165 function write_V(obj, fname)
166     V_fname = ['mass_V_', fname, '.txt'];
167     V_fpath = fullfile(pwd, "Input_data", "Potential_data",
168                         V_fname);
169     writematrix([obj.r, obj.V], V_fpath);
170 end
171 end

```

```

1 classdef spherical_harmonics_obj < handle
2 properties
3     stl_model
4     V {mustBeNumeric}
5     C_nm
6     S_nm
7     M
8     a
9     n_max
10    bulk_density
11    r
12 end
13
14 methods
15     function obj = spherical_harmonics_obj(model, bulk_density,
16         n_max, a)
17         arguments
18             model triangulation
19             bulk_density double
20             n_max double
21             a double
22         end
23         obj.n_max = n_max;
24         obj.bulk_density = bulk_density;
25         obj.stl_model = model;
26         Vol = stlVolume(obj.stl_model.Points', obj.stl_model.
27                         ConnectivityList');
28         obj.M = bulk_density * Vol;
29         obj.a = a;
30     end
31

```

```

30     function calculate_coefs_point_masses(obj,mas_grid_p,M_i)
31         arguments
32             obj spherical_harmonics_obj
33             mas_grid_p double
34             M_i double
35         end
36
37         G = 6.6743e-11;
38
39         n_max = obj.n_max;
40         obj.C_nm = zeros(n_max+1,n_max+1);
41         obj.S_nm = zeros(n_max+1,n_max+1);
42
43         c = zeros(n_max+1,n_max+1,length(mas_grid_p(:,1)));
44         s = zeros(n_max+1,n_max+1,length(mas_grid_p(:,1)));
45
46         a = obj.a;
47
48         for n = 0:n_max
49             for m = 0:n
50                 for i = 1:length(mas_grid_p(:,1))
51                     mas_point = mas_grid_p(i,:);
52                     x_prim = mas_point(1);
53                     y_prim = mas_point(2);
54                     z_prim = mas_point(3);
55                     r_prim = norm(mas_point);
56                     if n == m
57                         if n == 0
58                             c(1,1,i) = 1/obj.M;
59                             s(1,1,i) = 0;
60                         elseif n == 1
61                             c(2,2,i) = 1/(sqrt(3)*obj.M*a)*
62                                 x_prim;
63                             s(2,2,i) = 1/(sqrt(3)*obj.M*a)*
64                                 y_prim;
65                         else
66                             h_temp = (2*n-1)/(sqrt(2*n*(2*n
67                                 +1))) * [x_prim/a, -y_prim/a
68                                 ; y_prim/a, x_prim/a] * [c(n
69                                 ,n,i); s(n,n,i)];
70                             c(n+1,n+1,i) = h_temp(1);
71                             s(n+1,n+1,i) = h_temp(2);
72                             h_temp = [];
73                         end
74                     elseif m == n-1
75                         h_temp = (2*n-1)/(sqrt(2*n+1)) *
76                             z_prim/a * [c(n,n,i); s(n,n,i)];

```

```

71          c(n+1,n,i) = h_temp(1);
72          s(n+1,n,i) = h_temp(2);
73          h_temp = [];
74      elseif m < n-1
75          h_temp = (2*n-1)*sqrt((2*n-1)/((2*n
76              +1)*(n+m)*(n-m))) * z_prim/a * [
77                  c(n,m+1,i); s(n,m+1,i)] - sqrt
78                  ((2*n-3)*(n+m-1)*(n-m-1)/(2*n
79                      +1)*(n+m)*(n-m))) * (r_prim/a)^2
80                      * [c(n-1,m+1,i); s(n-1,m+1,i)];
81          c(n+1,m+1,i) = h_temp(1);
82          s(n+1,m+1,i) = h_temp(2);
83          h_temp = [];
84      end
85      end
86  end
87
88  for i = 1:length(mas_grid_p(:,1))
89      if i == 1
90          obj.C_nm(:,:,i) = c(:,:,i) .* M_i;
91          obj.S_nm(:,:,i) = s(:,:,i) .* M_i;
92      else
93          obj.C_nm(:,:,i) = obj.C_nm(:,:,i) + c(:,:,i) .*
94              M_i;
95          obj.S_nm(:,:,i) = obj.S_nm(:,:,i) + s(:,:,i) .*
96              M_i;
97      end
98  end
99
100 function calculate_coefs(obj)
101     arguments
102         obj spherical_harmonics_obj
103     end
104     set_of_edges = obj.stl_model.edges;
105     set_of_faces = obj.stl_model.ConnectivityList;
106     set_of_n_f = faceNormal(obj.stl_model);
107     num_of_faces = length(set_of_faces(:,1));
108     G = 6.6743e-11;
109
110     n_max = obj.n_max;
111     obj.C_nm = zeros(n_max+1);

```

```

111     obj.S_nm = zeros(n_max+1);
112
113     for n = 0:n_max
114         if n > 1
115             c_prev2 = [];
116             s_prev2 = [];
117             c_prev2 = c_prev1;
118             s_prev2 = s_prev1;
119         end
120         if n > 0
121             c_prev1 = [];
122             s_prev1 = [];
123             c_prev1 = c;
124             s_prev1 = s;
125         end
126         t = (n+2)*(n+1)*0.5;
127         c = zeros(t,n+1,num_of_faces);
128         s = zeros(t,n+1,num_of_faces);
129         for m = 0:n
130             for f = 1:num_of_faces
131                 face = set_of_faces(f,:);
132                 face_points = obj.stl_model.Points(face',:)
133                 ;
134                 J = face_points';
135                 x_prim = J(1,:);
136                 y_prim = J(2,:);
137                 z_prim = J(3,:);
138                 if n == m
139                     if n == 0
140                         c(:,1,f) = 1/obj.M;
141                         s(:,1,f) = 0;
142                     elseif n == 1
143                         c(:,2,f) = 1/(sqrt(3)*obj.M*obj.a)*
144                             x_prim;
145                         s(:,2,f) = 1/(sqrt(3)*obj.M*obj.a)*
146                             y_prim;
147                     else
148                         c(:,m+1,f) = (2*n-1)/(sqrt(2*n*(2*n
149                             +1))*obj.a) * (tri_mult(x_prim,
150                             c_prev1(:,m,f)) - tri_mult(
151                             y_prim,s_prev1(:,m,f)));
152                         s(:,m+1,f) = (2*n-1)/(sqrt(2*n*(2*n
153                             +1))*obj.a) * (tri_mult(y_prim,
154                             c_prev1(:,m,f)) + tri_mult(
155                             x_prim,s_prev1(:,m,f)));
156                     end
157                 elseif m == n-1

```

```

149          c(:,m+1,f) = (2*n - 1)/(sqrt(2*n+1) *
150                           obj.a) * tri_mult(z_prim,c_prev1(:,m
151                           + 1,f));
152          s(:,m+1,f) = (2*n - 1)/(sqrt(2*n+1) *
153                           obj.a) * tri_mult(z_prim,s_prev1(:,m
154                           + 1,f));
155
156      elseif m < n-1
157          c(:,m+1,f) = (2*n-1)*sqrt((2*n-1)/((2*n
158                           + 1)*(n+m)*(n-m)))/obj.a * tri_mult(
159                           z_prim,c_prev1(:,m + 1,f)) - sqrt
160                           ((2*n-3)*(n+m-1)*(n-m-1)/((2*n+1)*(n
161                           + m)*(n-m)))/(obj.a^2) * (tri_mult((
162                           tri_mult(x_prim,x_prim) + tri_mult(
163                           y_prim,y_prim) + tri_mult(z_prim,
164                           z_prim)),c_prev2(:,m + 1,f)));
165          s(:,m+1,f) = (2*n-1)*sqrt((2*n-1)/((2*n
166                           + 1)*(n+m)*(n-m)))/obj.a * tri_mult(
167                           z_prim,s_prev1(:,m + 1,f)) - sqrt
168                           ((2*n-3)*(n+m-1)*(n-m-1)/((2*n+1)*(n
169                           + m)*(n-m)))/(obj.a^2) * (tri_mult((
170                           tri_mult(x_prim,x_prim) + tri_mult(
171                           y_prim,y_prim) + tri_mult(z_prim,
172                           z_prim)),s_prev2(:,m + 1,f)));
173
174      end
175
176      obj.C_nm(n+1,m+1) = obj.C_nm(n+1,m+1) +
177          integrate_simplex(c(:,m+1,f),det(J));
178      obj.S_nm(n+1,m+1) = obj.S_nm(n+1,m+1) +
179          integrate_simplex(s(:,m+1,f),det(J));
180      disp(['face ', num2str(f), ' of ', num2str(
181          num_of_faces), ', n = ', num2str(n), ',
182          m = ', num2str(m)]);
183
184  end
185
186 end
187
188 function calculate(obj,C,S,r_query,centroid)
189     obj.V = zeros(length(r_query(:,1)),1);
190     G = 6.6743e-11;
191     for i = 1:length(r_query(:,1))
192         rq = r_query(i,:);
193         r = norm(rq);
194         lat = asin(rq(3)/r);

```

```

174         lon = atan2(rq(2),rq(1));
175         n_max = obj.n_max;
176         sum_m = 0;
177         sum_n = 0;
178         for n = 1:n_max
179             P = legendre(n,sin(lat));
180             for m = 0:n
181                 N = sqrt((2-double(n==m)) * (2*n+1) *
182                             factorial(n-m) / factorial(n+m));
183                 sum_m = sum_m + N * P(m+1) * (C(n+1,m+1)*
184                             cos(m*lon) + S(n+1,m+1)*sin(m*lon));
185             end
186             sum_n = sum_n + (obj.a/r)^n * sum_m;
187             sum_m = 0;
188         end
189         obj.V(i,1) = G*obj.M/r * (1+sum_n);
190         sum_n = 0;
191         obj.r = r_query;
192     end
193
194     function write_coefs_werner(obj)
195         C_fname = ['C_werner_',num2str(obj.n_max),'.txt'];
196         C_fpath = fullfile(pwd,"Input_data","Coefs",C_fname);
197         writematrix(obj.C_nm,C_fpath)
198
199         S_fname = ['S_werner_',num2str(obj.n_max),'.txt'];
200         S_fpath = fullfile(pwd,"Input_data","Coefs",S_fname);
201         writematrix(obj.S_nm,S_fpath)
202     end
203
204     function write_coefs_mas(obj, mas_r)
205         C_fname = ['C_mas_',num2str(obj.n_max),'_',num2str(
206             mas_r),'.txt'];
207         C_fpath = fullfile(pwd,"Input_data","Coefs",C_fname);
208         writematrix(obj.C_nm,C_fpath)
209
210         S_fname = ['S_mas_',num2str(obj.n_max),'_',num2str(
211             mas_r),'.txt'];
212         S_fpath = fullfile(pwd,"Input_data","Coefs",S_fname);
213         writematrix(obj.S_nm,S_fpath)
214     end
215
216     function read_coefs_werner(obj)
217         C_fname = ['C_werner_',num2str(obj.n_max),'.txt'];
218         C_fpath = fullfile(pwd,"Input_data","Coefs",C_fname);
219         S_fname = ['S_werner_',num2str(obj.n_max),'.txt'];

```

```

217     S_fpath = fullfile(pwd,"Input_data","Coefs",S_fname);
218
219     obj.C_nm = readmatrix(C_fpath);
220     obj.S_nm = readmatrix(S_fpath);
221 end
222
223 function read_coefs_mas(obj, mas_r)
224     C_fname = ['C_mas_',num2str(obj.n_max), '_', num2str(
225         mas_r), '.txt'];
226     C_fpath = fullfile(pwd,"Input_data","Coefs",C_fname);
227     S_fname = ['S_mas_',num2str(obj.n_max), '_', num2str(
228         mas_r), '.txt'];
229     S_fpath = fullfile(pwd,"Input_data","Coefs",S_fname);
230
231     obj.C_nm = readmatrix(C_fpath);
232     obj.S_nm = readmatrix(S_fpath);
233 end
234
235
236 function axes = plot_V(obj, r, scale, opt2)
237     arguments
238         obj spherical_harmonics_obj
239         r double
240         scale double
241         opt2.Units char
242     end
243     if ~isfield(opt2,"Units")
244         opt2.Units = 'm';
245     end
246
247     unit_scale = 1;
248
249     model_temp = obj.stl_model;
250     if strcmp(opt2.Units, 'km')
251         unit_scale = 1/1000;
252         model_temp = triangulation(model_temp.
253             ConnectivityList,model_temp.Points * unit_scale)
254         ;
255     end
256
257     figure();
258     trisurf(model_temp,'FaceColor','black','FaceAlpha',0.2)
259         ;
260     hold on;
261
262     if strcmp(opt2.Units, 'km')
263         unit_scale = 1/1000;

```

```

259         x_surf = r(:,1)*unit_scale;
260         y_surf = r(:,2)*unit_scale;
261         z_surf = r(:,3)*unit_scale-obj.V*scale*unit_scale;
262     elseif strcmp(opt2.Units, 'm')
263         x_surf = r(:,1)*unit_scale;
264         y_surf = r(:,2)*unit_scale;
265         z_surf = r(:,3)*unit_scale-obj.V*scale*unit_scale;
266     end
267
268
269     xv = linspace(min(x_surf), max(x_surf), 50);
270     yv = linspace(min(y_surf), max(y_surf), 50);
271     [X_surf,Y_surf] = meshgrid(xv, yv);
272     Z_surf = griddata(x_surf,y_surf,z_surf,X_surf,Y_surf);
273     surf(X_surf, Y_surf, Z_surf);
274     xlabel(['x [',opt2.Units, ']'], 'Interpreter', 'latex');
275     ylabel(['y [',opt2.Units, ']'], 'Interpreter', 'latex');
276     zlabel(['z [',opt2.Units, ']'], 'Interpreter', 'latex');
277     title('Polyhedron Method Gravitational Potential');
278     axis equal;
279     cb = colorbar;
280     set(cb, 'TickLabels', cb.Ticks/(scale*unit_scale));
281     cb.Label.String = 'V [J/kg]';
282     axes = gca;
283
284 end
285
286 function write_V(obj, fname)
287     V_fname = ['sh_V_', fname, '.txt'];
288     V_fpath = fullfile(pwd, "Input_data", "Potential_data",
289                         V_fname);
290     writematrix([obj.r, obj.V], V_fpath);
291 end

```

6.2 Funkcje

```
1 function r_t = vec_model2face(r,n_f,p_a,p_b)
2 k = n_f;
3 i = (p_b - p_a)/norm(p_b - p_a);
4 j = cross(k,i);
5 F = [i', j', k'];
6 M = [[1,0,0]',[0,1,0]',[0,0,1]';
7 r_t = (F \ M * r')';
8 end
```

```
1 function tri_result = tri_mult(tri1, tri2)
2 n1 = (-3+sqrt(9-(8*(1-length(tri1)) )))/2;
3 n2 = (-3+sqrt(9-(8*(1-length(tri2)) )))/2;
4 n = n1 + n2;
5 t_result = (n+2)*(n+1)*0.5;
6 tri_result = zeros(1,t_result);
7 for i = n1:-1:0
8     for k = 0:(n1-i)
9         j = n1-i-k;
10        for r = n2:-1:0
11            for s = 0:(n2-r)
12                t = n2-r-s;
13                index = (j+s+k+t)*(j+s+k+t+1)/2 + k + t + 1;
14                index1 = (j+k)*(j+k+1)/2 + k + 1;
15                index2 = (s+t)*(s+t+1)/2 + t + 1;
16                tri_result(index) = tri_result(index) + tri1(
17                                index1) * tri2(index2);
18            end
19        end
20    end
21 end
```

```
1 function centroid = calculate_centroid(stl_model)
2 points = stl_model.Points;
3 centroid = mean(points);
4 end
```

```
1 function [rq, rqn, i] = gen_points(a,b,n,mode,r)
2 if strcmp(mode,"out")
3     rq = (b-a).*rand(n,3) + a;
4     rqn = vecnorm(rq,2,2);
5     while any(rqn < r)
6         n_temp = length(rqn(rqn < r));
7         rq(rqn < r,:) = (b-a).*rand(n_temp,3) + a;
8         rqn = vecnorm(rq,2,2);
```

```

9      end
10     i = n;
11 elseif strcmp(mode,"in")
12     rq = (b-a).*rand(n,3) + a;
13     rqn = vecnorm(rq,2,2);
14     while any(rqn > r)
15         n_temp = length(rqn(rqn > r));
16         rq(rqn > r,:) = (b-a).*rand(n_temp,3) + a;
17         rqn = vecnorm(rq,2,2);
18     end
19     i = 0;
20 else
21     rq = (b-a).*rand(n,3) + a;
22     rqn = vecnorm(rq,2,2);
23     i = length(rqn(rqn > r));
24 end
25 end

```

```

1 function rq = gen_points_kleo(a,b,n,model)
2 rq = (b-a).*rand(n,3) + a;
3 in = inpolyhedron(model.ConnectivityList,model.Points,rq);
4
5 while any(in == 1)
6 n_temp = length(in(in == 1));
7 rq(in == 1,:) = (b-a).*rand(n_temp,3) + a;
8 in = inpolyhedron(model.ConnectivityList,model.Points,rq);
9 end
10 end

```

```

1 function E_e = get_E_e(model,edge,plot)
2 p_a = model.Points(edge(1),:);
3 p_b = model.Points(edge(2),:);
4
5 faces_id = cell2mat(edgeAttachments(model,edge(1),edge(2)))';
6 n_f = faceNormal(model,faces_id);
7
8 n_ab = (p_b - p_a)/norm(p_b - p_a);
9
10 n_e(1,:) = cross(n_ab*(-1),n_f(1,:));
11 n_e(1,:) = n_e(1,:)/norm(n_e(1,:));
12 n_e(2,:) = cross(n_ab,n_f(2,:));
13 n_e(2,:) = n_e(2,:)/norm(n_e(2,:));
14
15 face_points_id(1,:) = model.ConnectivityList(faces_id(1),:);
16
17 color_i = 1;
18 p_c = model.Points(face_points_id(1,:),:);

```

```

19   for i = 3:-1:1
20     if p_c(i,:) == p_a
21       p_c(i,:) = [];
22     elseif p_c(i,:) == p_b
23       p_c(i,:) = [];
24     end
25   end
26   v_ac = p_c - p_a;
27   v_aq = dot(v_ac,n_ab)*n_ab;
28   p_q = p_a + v_aq;
29   v_qc = p_c - p_q;
30   if dot(v_qc,n_e(1,:)) > 0
31     n_e = n_e * (-1);
32     color_i = 3;
33   end
34
35 E_e = n_f(1,:)' * n_e(1,:) + n_f(2,:)' * n_e(2,:);
36
37
38 if strcmp(plot,'on')
39   color = ['r','b','y','g'];
40 p_test = (p_a + p_b)/2;
41 scale = 1/10;
42 hold on;
43 quiver3(p_test(1,1),p_test(1,2),p_test(1,3), n_f(1,1)*scale,n_f
44   (1,2)*scale,n_f(1,3)*scale,0.5,'color',color(color_i));
45 quiver3(p_test(1,1),p_test(1,2),p_test(1,3), n_f(2,1)*scale,n_f
46   (2,2)*scale,n_f(2,3)*scale,0.5,'color',color(color_i+1));
47 quiver3(p_test(1,1),p_test(1,2),p_test(1,3), n_e(1,1)*scale,n_e
48   (1,2)*scale,n_e(1,3)*scale,0.5,'color',color(color_i));
49 quiver3(p_test(1,1),p_test(1,2),p_test(1,3), n_e(2,1)*scale,n_e
  (2,2)*scale,n_e(2,3)*scale,0.5,'color',color(color_i+1));
50 axis equal;
51 end
52 end

```

```

1 function F_f = get_F_f(n_f)
2   F_f = n_f' * n_f;
3 end

```

```

1 function L_e = get_L_e(r,p_a,p_b)
2 e = norm(p_a-p_b);
3 a = norm(r-p_a);
4 b = norm(r-p_b);
5 L_e = log((a+b+e)/(a+b-e));
6 end

```

```

1 function r_ef = get_r_ef(r,p_a)
2   r_ef = p_a - r;
3 end

```

```

1 function w_f = get_w_f(r,face_points)
2 r_1 = face_points(1,:) - r;
3 r_1 = r_1/norm(r_1);
4 r_2 = face_points(2,:) - r;
5 r_2 = r_2/norm(r_2);
6 r_3 = face_points(3,:) - r;
7 r_3 = r_3/norm(r_3);
8
9
10
11 w_f = 2 * atan2((dot(r_1,cross(r_2,r_3))), (1 + dot(r_1,r_2) +
12           dot(r_2,r_3) + dot(r_3,r_1)));
end

```

```

1 function int_result = integrate_simplex(tri,det_J)
2 n = (-3+sqrt(9-(8*(1-length(tri)) )))/2;
3 for i = n:-1:0
4   for k = 0:(n-i)
5     j = n-i-k;
6     index = (j+k)*(j+k+1)/2 + k + 1;
7     mix_factor = factorial(i)*factorial(j)*factorial(k)/
8       factorial(n+3);
9     tri(index) = tri(index)*mix_factor;
10    end
11  end
12  int_result = det_J * sum(tri);
end

```

```

1 function p_c = p_model2face(p,n_f,p_a,p_b,rq)
2 k = n_f;
3 i = (p_b - p_a)/norm(p_b - p_a);
4 j = cross(k,i);
5 F = [i', j', k'];
6 M = [[1,0,0]', [0,1,0]', [0,0,1]'];
7
8 p_r = - rq;
9 p_c = (F \ M * p_r)';
10 end

```

6.3 Skrypty

```
1 clear;
2 % close all;
3 addpath 'C:\Projects\personal\przejsciowka\matlab\Functions'
4 addpath 'C:\Projects\personal\przejsciowka\matlab\Input_data'
5
6 %% Reading model
7 unit_scale = 1000;
8
9 model_fname = 'Kleopatra_Ostro.stl';
10 cd_splitted = split(mfilename('fullpath'), '\');
11 model_path = fullfile(cd_splitted{1:end-2}, "model3d",
12 model_fname);
13 model_temp = stlread(model_path);
14 model_temp = triangulation(model_temp.ConnectivityList,
15 model_temp.Points * unit_scale);
16 centroid = calculate_centroid(model_temp);
17 model = triangulation(model_temp.ConnectivityList, model_temp.
18 Points - centroid);
19 clear model_fname cd_splitted model_path model_temp centroid
20
21 a = -200000;
22 b = 200000;
23 n = 100;
24 rq = gen_points_kleo(a,b,n,model);
25
26 trimesh(model);
27 hold on;
28 scatter3(rq(:,1),rq(:,2),rq(:,3));
29 axis equal;
30
31 writematrix(rq,"rand_kleo.txt");
```

```
1 close all;
2 clear;
3
4 base = IcosahedronMesh();
5
6
7 f1 = figure();
8 f1.Position = [100 100 800 600];
9 tiledlayout(f1,2,2);
10 nexttile
11 trisurf(base);
```

```

13 xlabel('x [m]', 'Interpreter', 'latex');
14 ylabel('y [m]', 'Interpreter', 'latex');
15 zlabel('z [m]', 'Interpreter', 'latex');
16 xlim([-1,1]);
17 daspect([1 1 1]);
18 title('20 faces');

19
20
21 complex1 = SubdivideSphericalMesh(base, 1);

22 nexttile;
23 trisurf(complex1);
24 axis equal;
25 xlabel('x [m]', 'Interpreter', 'latex');
26 ylabel('y [m]', 'Interpreter', 'latex');
27 zlabel('z [m]', 'Interpreter', 'latex');
28 title('80 faces');

29
30
31 complex2 = SubdivideSphericalMesh(base, 2);

32 nexttile
33 trisurf(complex2);
34 axis equal;
35 xlabel('x [m]', 'Interpreter', 'latex');
36 ylabel('y [m]', 'Interpreter', 'latex');
37 zlabel('z [m]', 'Interpreter', 'latex');
38 title('320 faces');

39
40
41 complex3 = SubdivideSphericalMesh(base, 3);

42 nexttile
43 trisurf(complex3);
44 axis equal;
45 xlabel('x [m]', 'Interpreter', 'latex');
46 ylabel('y [m]', 'Interpreter', 'latex');
47 zlabel('z [m]', 'Interpreter', 'latex');
48 title('1280 faces');
49

```

```

1 clear;
2 close all;
3 addpath 'C:\Projects\personal\przejsciowka\matlab\Functions'
4 addpath 'C:\Projects\personal\przejsciowka\matlab\Input_data\
      Coefs'

5
6 V_poly_path = fullfile(pwd, "Input_data", "Potential_data",
      poly_V_kleo.txt");
7 V_mass1_path = fullfile(pwd, "Input_data", "Potential_data",
      "V"

```

```

    mass_V_kleo1.txt");
8   V_mass2_path = fullfile(pwd,"Input_data","Potential_data","");
      mass_V_kleo2.txt");
9   V_mass3_path = fullfile(pwd,"Input_data","Potential_data","");
      mass_V_kleo3.txt");
10  V_sh1_path = fullfile(pwd,"Input_data","Potential_data","");
      sh_V_kleo_coef_4.txt");
11  V_sh2_path = fullfile(pwd,"Input_data","Potential_data","");
      sh_V_kleo_coef_10.txt");
12  V_sh3_path = fullfile(pwd,"Input_data","Potential_data","");
      sh_V_kleo_coef_50.txt");
13
14  V_poly = readmatrix(V_poly_path);
15  rq = V_poly(:,1:3);
16  rqn = vecnorm(rq,2,2);
17  V_poly = V_poly(:,4);
18
19
20  V_mass1 = readmatrix(V_mass1_path);
21  V_mass1 = V_mass1(:,4);
22  V_mass2 = readmatrix(V_mass2_path);
23  V_mass2 = V_mass2(:,4);
24  V_mass3 = readmatrix(V_mass3_path);
25  V_mass3 = V_mass3(:,4);
26
27  V_sh1 = readmatrix(V_sh1_path);
28  V_sh1 = -V_sh1(:,4);
29  V_sh2 = readmatrix(V_sh2_path);
30  V_sh2 = -V_sh2(:,4);
31  V_sh3 = readmatrix(V_sh3_path);
32  V_sh3 = -V_sh3(:,4);
33
34  V = [V_mass1, V_mass2, V_mass3, V_sh1, V_sh2, V_sh3];
35
36  for i = 1:length(V(1,:))
37      err(i) = mean(abs(V(:,i)-V_poly)./abs(V_poly));
38  end
39
40  t = []
41
42
43  err_sh = abs(V_sh3-V_poly)./abs(V_poly);
44  p = fit(rqn,err_sh,'exp1');
45  px = sort(rqn);
46
47  plot(p,rqn,err_sh);
48  grid on;

```

```

1 clear;
2 close all;
3 addpath 'C:\Projects\personal\przejsciowka\matlab\Functions'
4 addpath 'C:\Projects\personal\przejsciowka\matlab\Input_data'
5
6 % Configuration file name
7 config_fname = "sh.json";
8
9 %% Reading config
10 config_path = fullfile(pwd,"Input_data","Config",config_fname);
11 config_fid = fopen(config_path);
12 config_raw = fread(config_fid);
13 config = jsondecode(char(config_raw'));
14 fclose(config_fid);
15 clear config_raw config_fid config_path config_fname
16
17 r_fname = config.main_configuration.query_points_file;
18 r_path = fullfile(pwd,"Input_data","Query_points",r_fname);
19 r = readmatrix(r_path);
20 clear r_fname r_path
21
22 %% Reading model
23 model_fname = config.main_configuration.model_file;
24 cd_splitted = split(mfilename('fullpath'), '\');
25 model_path = fullfile(cd_splitted{1:end-2}, "model3d",
26 model_fname);
27 model_temp = stlread(model_path);
28 model_temp = triangulation(model_temp.ConnectivityList,
29 model_temp.Points * config.main_configuration.unit_scale);
30 centroid = calculate_centroid(model_temp);
31 model = triangulation(model_temp.ConnectivityList, model_temp.
32 Points - centroid);
33 clear model_fname cd_splitted model_path model_temp centroid
34
35 %% Calculating gravitational potential
36 method = config.method.method_name;
37 if strcmp(method, "Spherical Harmonics")
38     spherical_harmonics_method = spherical_harmonics_obj(
39         model, config.main_configuration.bulk_density, config.
40         method.degree, config.method.a);
41     if strcmp(config.method.calculation_algorithm, "werner")
42         if exist(fullfile(pwd, "Input_data", "Coefs", [
43             C_werner_, num2str(config.method.degree), '.txt'
44         ]), 'file') == 2
45             spherical_harmonics_method.read_coefs_werner();

```

```

39         else
40             spherical_harmonics_method.calculate_coefs();
41             spherical_harmonics_method.write_coefs_werner();
42         end
43     else
44         mas_r = config.method.mas_r;
45         if exist(fullfile(pwd,"Input_data","Coefs",['C_mas_',
46             ' ',num2str(config.method.degree),'_',num2str(
47             mas_r),'.txt']),'file') == 2
48             spherical_harmonics_method.read_coefs_mas(mas_r
49                 )
50         else
51             mascons_method = mascons_obj(model,mas_r,config.
52                 main_configuration.bulk_density);
53             spherical_harmonics_method.
54                 calculate_coefs_point_masses(mascons_method.
55                     points,mascons_method.M_i);
56             spherical_harmonics_method.write_coefs_mas(mas_r);
57         end
58     end
59
60 elseif strcmp(method,"Mascons")
61     mascons_method = mascons_obj(model,config.method.mas_r,config.
62         main_configuration.bulk_density);
63     mascons_method.calculate(r);
64 elseif strcmp(method,"Polyhedron")
65     polyhedron_method = polyhedron_obj(model);
66     polyhedron_method.calculate(r,config.main_configuration.
67         bulk_density);
68
69 else
70     disp("Wrong method chosen. Available methods: Spherical
71         Harmonics, Mascons or Polyhedron");
72 end
73 clear method

```

```

1 % close all;
2 clear;
3
4 %% Initial data (TODO in json file)
5 % Asteroid data
6 model_fname = "Kleopatra_Ostro.stl";
7 bulk_density = 3600; % kg/m^3
8
9 % Field query points
10 x = linspace(-300000,300000,30); % m
11 y = x;
12 [X,Y] = meshgrid(x);

```

```

13 r = [X(:,),Y(:,),-6e+4 * ones(length(X(:)),1)];
14
15 % Mascons method configuration
16 mas_r = 5000; % radius of the spheres
17 unit_scale = 1000; % for models provided not in meters
18
19 % Ploting configuration
20 plot_unit = 'm'; % units of plots (km or m)
21 V_scale = 10^2; % scale of the potential plot
22
23 %% Main section
24 % Creating mascons model
25 mascons_method = mascons_obj(model_fname,mas_r,unit_scale,
26     bulk_density);
27 % Plotting mascons model
28 mascons_method.plot_mascons('Spheres','on','Units',plot_unit);
29 % Calculating gravitational potential
30 mascons_method.calculate(r);
31 % Plotting results
32 mascons_method.plot_V(r,V_scale,'Units',plot_unit);

```

```

1 clear;
2 close all;
3 addpath 'C:\Projects\personal\przejsciowka\matlab\Functions'
4 addpath 'C:\Projects\personal\przejsciowka\matlab\Input_data'
5
6 r_fname = 'rand_kleo.txt';
7 r_path = fullfile(pwd,"Input_data","Query_points",r_fname);
8 rq = readmatrix(r_path);
9 clear r_fname r_path
10
11 unit_scale = 1000;
12
13 model_fname = 'Kleopatra_Ostro.stl';
14 cd_splitted = split(mfilename('fullpath'),'\');
15 model_path = fullfile(cd_splitted{1:end-2}, "model3d",
16     model_fname);
17 model_temp = stlread(model_path);
18 model_temp = triangulation(model_temp.ConnectivityList,
19     model_temp.Points * unit_scale);
20 centroid = calculate_centroid(model_temp);
21 model = triangulation(model_temp.ConnectivityList,model_temp.
22     Points - centroid);
23 clear model_fname cd_splitted model_path model_temp centroid
24
25 %% Creating objects
26 bulk_density = 3600;

```

```

24
25     a1 = 12000;
26     a2 = 8000;
27     a3 = 4000;
28
29     mass_1 = mascons_obj(model,a1,bulk_density);
30     mass_2 = mascons_obj(model,a2,bulk_density);
31     mass_3 = mascons_obj(model,a3,bulk_density);
32
33
34 %% Calculating potential
35
36 tic
37 mass_1.calculate(rq);
38 t1 = toc
39 tic
40 mass_2.calculate(rq);
41 t2 = toc
42 tic
43 mass_3.calculate(rq);
44 t3 = toc
45
46 mass_1.write_V('kleo1');
47 mass_2.write_V('kleo2');
48 mass_3.write_V('kleo3');
49
50 f1 = figure();
51 f1.Position = [100 100 700 700];
52 mass_1.plot_mascons("Spheres",'on','Units','km');

```

```

1 clear;
2 close all;
3 addpath 'C:\Projects\personal\przejsciowka\matlab\Functions'
4 addpath 'C:\Projects\personal\przejsciowka\matlab\Input_data'
5
6 r_fname = 'rand_in.txt';
7 r_path = fullfile(pwd,"Input_data","Query_points",r_fname);
8 rq_in = readmatrix(r_path);
9 clear r_fname r_path
10
11 r_fname = 'rand_out.txt';
12 r_path = fullfile(pwd,"Input_data","Query_points",r_fname);
13 rq_out = readmatrix(r_path);
14 clear r_fname r_path
15
V_fpath_1 = fullfile(pwd,"Input_data","Potential_data",
    "mass_V_rand_in1.txt");

```

```

17 V_fpath_2 = fullfile(pwd,"Input_data","Potential_data","  

18     mass_V_rand_in2.txt");  

19 V_fpath_3 = fullfile(pwd,"Input_data","Potential_data","  

20     mass_V_rand_in3.txt");  

21 V_fpath_4 = fullfile(pwd,"Input_data","Potential_data","  

22     mass_V_rand_in4.txt");  

23  

24 V1_in = readmatrix(V_fpath_1);  

25 V1_in = V1_in(:,4);  

26 V2_in = readmatrix(V_fpath_2);  

27 V2_in = V2_in(:,4);  

28 V3_in = readmatrix(V_fpath_3);  

29 V3_in = V3_in(:,4);  

30 V4_in = readmatrix(V_fpath_4);  

31 V4_in = V4_in(:,4);  

32  

33 V_fpath_1 = fullfile(pwd,"Input_data","Potential_data","  

34     mass_V_rand_out1.txt");  

35 V_fpath_2 = fullfile(pwd,"Input_data","Potential_data","  

36     mass_V_rand_out2.txt");  

37 V_fpath_3 = fullfile(pwd,"Input_data","Potential_data","  

38     mass_V_rand_out3.txt");  

39 V_fpath_4 = fullfile(pwd,"Input_data","Potential_data","  

40     mass_V_rand_out4.txt");  

41  

42 V1_out = readmatrix(V_fpath_1);  

43 V1_out = V1_out(:,4);  

44 V2_out = readmatrix(V_fpath_2);  

45 V2_out = V2_out(:,4);  

46 V3_out = readmatrix(V_fpath_3);  

47 V3_out = V3_out(:,4);  

48 V4_out = readmatrix(V_fpath_4);  

49 V4_out = V4_out(:,4);  

50  

51 a = 1; % radius  

52 M = 4/3 * pi * a^3; % mass of a sphere  

53 G = 6.6743e-11; % gravitational constant  

54 for i = 1:length(rq_in(:,1))  

55     r = norm(rq_in(i,:));  

56     if r > 1  

57         V_in(i) = -G*M/r;  

58     else  

59         V_in(i) = -G*M* (3*a^2 - r^2)/(2*a^3);  

60     end  

61 end  

62 for i = 1:length(rq_out(:,1))  

63     r = norm(rq_out(i,:));  


```

```

57     if r > 1
58         V_out(i) = -G*M/r;
59     else
60         V_out(i) = -G*M* (3*a^2 - r^2)/(2*a^3);
61     end
62 end
63 V_in = V_in';
64 V_out = V_out';
65
66 err_1_in = mean(abs(V1_in-V_in)./abs(V_in));
67 err_2_in = mean(abs(V2_in-V_in)./abs(V_in));
68 err_3_in = mean(abs(V3_in-V_in)./abs(V_in));
69 err_4_in = mean(abs(V4_in-V_in)./abs(V_in));
70
71 err_1_out = mean(abs(V1_out-V_out)./abs(V_out));
72 err_2_out = mean(abs(V2_out-V_out)./abs(V_out));
73 err_3_out = mean(abs(V3_out-V_out)./abs(V_out));
74 err_4_out = mean(abs(V4_out-V_out)./abs(V_out));
75
76 points = [27, 360, 1181, 3448];
77 err_in = [err_1_in, err_2_in, err_3_in, err_4_in];
78 err_out = [err_1_out, err_2_out, err_3_out, err_4_out];
79
80 f1 = figure();
81 f1.Position = [100 100 1200 500];
82 tiledlayout(1,2);
83 nexttile;
84 scatter(points,err_in,'filled','red');
85 title('Query points inside the sphere');
86 ylabel('Mean relative error');
87 xlabel('Number of mass points');
88 grid on;
89 nexttile;
90 scatter(points,err_out,'filled','red');
91 title('Query points outside the sphere');
92 ylabel('Mean relative error');
93 xlabel('Number of mass points');
94 grid on;
95
96 t_in = [0.04, 0.49, 4.71, 81.52];
97 t_out = [0.04, 0.49, 4.96, 82.3];
98
99 f2 = figure();
100 f2.Position = [100 100 1200 500];
101 tiledlayout(1,2);
102 nexttile;
103 scatter(points,t_in,'filled','red');

```

```

104 title('Query points inside the sphere');
105 ylabel('Time of calculation [s]');
106 xlabel('Number of mass points');
107 grid on;
108 nexttile;
109 scatter(points,t_out,'filled','red');
110 title('Query points outside the sphere');
111 ylabel('Time of calculation [s]');
112 xlabel('Number of mass points');
113 grid on;
114
115 rqn = vecnorm(rq_out,2,2);
116 err_sh = abs(V4_out-V_out)./abs(V_out);
117 f3 = figure();
118 scatter(rqn,err_sh);
119 grid on;

```

```

1 close all;
2 clear;
3
4
5 V_fpath_1 = fullfile(pwd,"Input_data","Potential_data",
6     "mass_V_1.txt");
7 V_fpath_2 = fullfile(pwd,"Input_data","Potential_data",
8     "mass_V_2.txt");
9 V_fpath_3 = fullfile(pwd,"Input_data","Potential_data",
10    "mass_V_3.txt");
11 V_fpath_4 = fullfile(pwd,"Input_data","Potential_data",
12    "mass_V_4.txt");
13
14 V1 = readmatrix(V_fpath_1);
15 V2 = readmatrix(V_fpath_2);
16 V3 = readmatrix(V_fpath_3);
17 V4 = readmatrix(V_fpath_4);
18 rq = V1(:,1:3);
19
20 x_surf = rq(:,1);
21 y_surf = rq(:,2);
22 % z_surf = obj.V;
23
24 X_surf = reshape(x_surf,[sqrt(length(x_surf)),sqrt(length(
25     x_surf))]);
26 Y_surf = reshape(y_surf,[sqrt(length(x_surf)),sqrt(length(
27     x_surf))]);
28 % Z_surf = reshape(z_surf,[sqrt(length(x_surf)),sqrt(length(
29     x_surf))]);

```

```

24 %% Calculating true potential of a unit sphere
25 a = 1; % radius
26 M = 4/3 * pi * a^3; % mass of a sphere
27 G = 6.6743e-11; % gravitational constant
28 for i = 1:length(rq(:,1))
29     r = norm(rq(i,:));
30     if r > 1
31         V(i) = -G*M/r;
32     else
33         V(i) = -G*M* (3*a^2 - r^2)/(2*a^3);
34     end
35 end
36 V_true = reshape(V,[sqrt(length(x_surf)),sqrt(length(x_surf))])
37 ;
38 V1 = reshape(V1(:,4),[sqrt(length(x_surf)),sqrt(length(x_surf))]);
39 V2 = reshape(V2(:,4),[sqrt(length(x_surf)),sqrt(length(x_surf))]);
40 V3 = reshape(V3(:,4),[sqrt(length(x_surf)),sqrt(length(x_surf))]);
41 V4 = reshape(V4(:,4),[sqrt(length(x_surf)),sqrt(length(x_surf))]);
42 z_scale = 1/10;
43 v_scale = 10^9;
44
45 [x_s,y_s,z_s] = sphere(20);
46 z_s = z_s * z_scale;
47
48 f1 = figure();
49 surf(X_surf,Y_surf,V_true*v_scale,'FaceColor','#1d4877');
50 hold on;
51 surf(X_surf,Y_surf,V1*v_scale,'FaceAlpha',1,'FaceColor','#ee3e32');
52 surf(X_surf,Y_surf,V2*v_scale,'FaceAlpha',1,'FaceColor','#f68838');
53 surf(X_surf,Y_surf,V3*v_scale,'FaceAlpha',1,'FaceColor','#fbb021');
54 surf(X_surf,Y_surf,V4*v_scale,'FaceAlpha',1,'FaceColor','#1b8a5a');
55 surf(x_s,y_s,z_s,'FaceColor',"#7E2F8E");
56 daspect([1 1 z_scale]);
57 f1.Position = [100 100 700 700];
58 xlim([0,3]);
59 ylim([-3,3]);
60 xlabel('x [m]', 'Interpreter','latex');
61 ylabel('y [m]', 'Interpreter','latex');

```

```

62 zlabel('V [nJ/kg]', 'Interpreter', 'latex');
63 legend('true', '27', '87', '360', '1181', 'Location', 'southoutside',
64     'Orientation', 'horizontal');
view(-65,20)

```

```

1 clear;
2 close all;
3 addpath 'C:\Projects\personal\przejsciowka\matlab\Functions'
4 addpath 'C:\Projects\personal\przejsciowka\matlab\Input_data'
5
6 r_fname = 'rand_out.txt';
7 r_path = fullfile(pwd, "Input_data", "Query_points", r_fname);
8 rq = readmatrix(r_path);
9 clear r_fname r_path
10
11
12 %% Reading model
13
14
15 model_fname = 'sphere320.stl';
16 cd_splitted = split(mfilename('fullpath'), '\');
17 model_path = fullfile(cd_splitted{1:end-2}, "model3d",
18     model_fname);
19 model_temp = stlread(model_path);
20 model = triangulation(model_temp.ConnectivityList, model_temp.
21     Points);
22 clear model_fname cd_splitted model_path model_temp centroid
23
24
25 %% Creating objects
26 bulk_density = 1;
27
28 a1 = 0.2;
29 a2 = 0.1;
30 a3 = 0.06;
31 a4 = 0.05;
32 vol = 4/3*pi;
33
34 mass_1 = mascons_obj(model, a1, bulk_density, vol);
35 mass_2 = mascons_obj(model, a2, bulk_density, vol);
36 mass_3 = mascons_obj(model, a3, bulk_density, vol);
37 mass_4 = mascons_obj(model, a4, bulk_density, vol);
38
39 %% Calculating potential
40
41 tic
42 mass_1.calculate(rq);

```

```

41 t1 = toc
42 tic
43 mass_2.calculate(rq);
44 t2 = toc
45 tic
46 mass_3.calculate(rq);
47 t3 = toc
48 tic
49 mass_4.calculate(rq);
50 t4 = toc
51
52 mass_1.write_V('rand_out1');
53 mass_2.write_V('rand_out2');
54 mass_3.write_V('rand_out3');
55 mass_4.write_V('rand_out4');

56
57
58
59
60 % f1 = figure();
61 % scatter3(rq(:,1),rq(:,2),rq(:,3),'filled','red');
62 % hold on;
63 % [x_s,y_s,z_s] = sphere;
64 % surf(x_s,y_s,z_s,'FaceAlpha',0.2);
65 % xlim([a,b]);
66 % ylim([a,b]);
67 % zlim([a,b]);
68 % daspect([1 1 1]);

```

```

1 clear;
2 close all;
3 addpath 'C:\Projects\personal\przejsciowka\matlab\Functions'
4 addpath 'C:\Projects\personal\przejsciowka\matlab\Input_data'
5
6
7 model_fname = 'sphere320.stl';
8 cd_splitted = split(mfilename('fullpath'), '\');
9 model_path = fullfile(cd_splitted{1:end-2}, "model3d",
10 model_fname);
11 model_temp = stlread(model_path);
12 model = triangulation(model_temp.ConnectivityList, model_temp.
13 Points);
14 clear model_fname cd_splitted model_path model_temp centroid
15 bulk_density = 1;
16 a1 = 0.2;

```

```

17 a2 = 0.1;
18 a3 = 0.07;
19 a4 = 0.04;
20
21 mass_1 = mascons_obj(model,a1,bulk_density);
22 mass_2 = mascons_obj(model,a2,bulk_density);
23 mass_3 = mascons_obj(model,a3,bulk_density);
24 mass_4 = mascons_obj(model,a4,bulk_density);
25
26 %% Creating query points
27 x = linspace(-3,3,30); % m
28 y = x;
29 [X,Y] = meshgrid(x);
30 rq = [X(:),Y(:),zeros(length(X(:)),1)];
31
32 f1 = figure();
33 f1.Position = [100 100 700 700];
34 tiledlayout(1,2);
35 nexttile;
36 mass_1.plot_mascons("Spheres",'on');
37 nexttile;
38 mass_2.plot_mascons("Spheres",'on');
39
40 %% Calculating potential
41 mass_1.calculate(rq);
42 mass_2.calculate(rq);
43 mass_3.calculate(rq);
44 mass_4.calculate(rq);
45
46 mass_1.write_V('1');
47 mass_2.write_V('2');
48 mass_3.write_V('3');
49 mass_4.write_V('4');

```

```

1 close all;
2 clear;
3
4 model_fname = 'Kleopatra_Ostro.stl';
5 cd_splitted = split(mfilename('fullpath'), '\');
6 model_path = fullfile(cd_splitted{1:end-2}, "model3d",
7 model_fname);
8 model_temp = stlread(model_path);
9 model = triangulation(model_temp.ConnectivityList, model_temp.
10 Points);
11 clear model_fname cd_splitted model_path model_temp centroid
12 trisurf(model, 'Facecolor',[.7 .7 .7]);

```

```

12 axis equal;
13 xlabel('x [km]', 'Interpreter', 'latex');
14 ylabel('y [km]', 'Interpreter', 'latex');
15 zlabel('z [km]', 'Interpreter', 'latex');

```

```

1 clear;
2 close all;
3 addpath 'C:\Projects\personal\przejsciowka\matlab\Functions'
4 addpath 'C:\Projects\personal\przejsciowka\matlab\Input_data'
5
6 r_fname = 'rand_kleo.txt';
7 r_path = fullfile(pwd, "Input_data", "Query_points", r_fname);
8 rq = readmatrix(r_path);
9 clear r_fname r_path
10
11 unit_scale = 1000;
12
13 model_fname = 'Kleopatra_Ostro.stl';
14 cd_splitted = split(mfilename('fullpath'), '\');
15 model_path = fullfile(cd_splitted{1:end-2}, "model3d",
16     model_fname);
17 model_temp = stlread(model_path);
18 model_temp = triangulation(model_temp.ConnectivityList,
19     model_temp.Points * unit_scale);
20 centroid = calculate_centroid(model_temp);
21 model = triangulation(model_temp.ConnectivityList, model_temp.
22     Points - centroid);
23 clear model_fname cd_splitted model_path model_temp centroid
24
25 f1 = figure();
26 trisurf(model);
27 hold on;
28 scatter3(rq(:,1), rq(:,2), rq(:,3), 'MarkerEdgeColor', 'k',...
29             'MarkerFaceColor', [0 .75 .75]);
30 axis equal;
31 xlabel(['x [m]'], 'Interpreter', 'latex');
32 ylabel(['y [m]'], 'Interpreter', 'latex');
33 zlabel(['z [m]'], 'Interpreter', 'latex');

```

```

1 clear;
2 close all;
3 addpath 'C:\Projects\personal\przejsciowka\matlab\Functions'
4 addpath 'C:\Projects\personal\przejsciowka\matlab\Input_data'
5
6 r_fname = 'rand_kleo.txt';
7 r_path = fullfile(pwd, "Input_data", "Query_points", r_fname);
8 rq = readmatrix(r_path);

```

```

9    clear r_fname r_path
10   unit_scale = 1000;
11
12   model_fname = 'Kleopatra_Ostro.stl';
13   cd_splitted = split(mfilename('fullpath'), '\');
14   model_path = fullfile(cd_splitted{1:end-2}, "model3d",
15     model_fname);
16   model_temp = stlread(model_path);
17   model_temp = triangulation(model_temp.ConnectivityList,
18     model_temp.Points * unit_scale);
19   centroid = calculate_centroid(model_temp);
20   model = triangulation(model_temp.ConnectivityList, model_temp.
21     Points - centroid);
22   clear model_fname cd_splitted model_path model_temp centroid
23
24   poly = polyhedron_obj(model);
25
26   tic
27   poly.calculate(rq,bulk_density);
28   t_poly = toc;
29
30   poly.write_V('kleo');
```

```

1 close all;
2 clear;
3
4
5 V_fpath_20 = fullfile(pwd,"Input_data","Potential_data","");
6   poly_V_20.txt");
7 V_fpath_80 = fullfile(pwd,"Input_data","Potential_data","");
8   poly_V_80.txt");
9 V_fpath_320 = fullfile(pwd,"Input_data","Potential_data","");
10  poly_V_320.txt");
11 V_fpath_1280 = fullfile(pwd,"Input_data","Potential_data","");
12  poly_V_1280.txt");
13
14 V20 = readmatrix(V_fpath_20);
15 V80 = readmatrix(V_fpath_80);
16 V320 = readmatrix(V_fpath_320);
17 V1280 = readmatrix(V_fpath_1280);
18 rq = V20(:,1:3);
19
20 x_surf = rq(:,1);
21 y_surf = rq(:,2);
```

```

18 % z_surf = obj.V;
19
20 X_surf = reshape(x_surf,[sqrt(length(x_surf)),sqrt(length(
21 x_surf))]);
21 Y_surf = reshape(y_surf,[sqrt(length(x_surf)),sqrt(length(
22 x_surf))]);
% Z_surf = reshape(z_surf,[sqrt(length(x_surf)),sqrt(length(
23 x_surf))]);
24
25 %% Calculating true potential of a unit sphere
26 a = 1; % radius
27 M = 4/3 * pi * a^3; % mass of a sphere
28 G = 6.6743e-11; % gravitational constant
29 for i = 1:length(rq(:,1))
30     r = norm(rq(i,:));
31     if r > 1
32         V(i) = -G*M/r;
33     else
34         V(i) = -G*M* (3*a^2 - r^2)/(2*a^3);
35     end
36 end
37 V_true = reshape(V,[sqrt(length(x_surf)),sqrt(length(x_surf))])
38 ;
39 V20 = reshape(V20(:,4),[sqrt(length(x_surf)),sqrt(length(x_surf
40 ))]);
41 V80 = reshape(V80(:,4),[sqrt(length(x_surf)),sqrt(length(x_surf
42 ))]);
43 V320 = reshape(V320(:,4),[sqrt(length(x_surf)),sqrt(length(
44 x_surf))]);
45 V1280 = reshape(V1280(:,4),[sqrt(length(x_surf)),sqrt(length(
46 x_surf))]);
47
48 z_scale = 1/10;
49 v_scale = 10^9;
50
51 [x_s,y_s,z_s] = sphere(20);
52 z_s = z_s * z_scale;
53
f1 = figure();
surf(X_surf,Y_surf,V_true*v_scale,'FaceColor','#1d4877');
hold on;
surf(X_surf,Y_surf,V20*v_scale,'FaceAlpha',1,'FaceColor','#
54 ee3e32');
surf(X_surf,Y_surf,V80*v_scale,'FaceAlpha',1,'FaceColor','#
55 f68838');
surf(X_surf,Y_surf,V320*v_scale,'FaceAlpha',1,'FaceColor','#
56 fbb021');

```

```

54 surf(X_surf,Y_surf,V1280*v_scale,'FaceAlpha',1,'FaceColor','#1
      b8a5a');
55 surf(x_s,y_s,z_s,'FaceColor',"#7E2F8E");
56 daspect([1 1 z_scale]);
57 f1.Position = [100 100 700 700];
58 xlim([0,3]);
59 ylim([-3,3]);
60 xlabel('x [m]', 'Interpreter', 'latex');
61 ylabel('y [m]', 'Interpreter', 'latex');
62 zlabel('V [nJ/kg]', 'Interpreter', 'latex');
63 legend('true','20','80','320','1280','Location','southoutside',
      'Orientation','horizontal');
64 view(-65,20)

```

```

1 clear;
2 close all;
3 addpath 'C:\Projects\personal\przejsciowka\matlab\Functions'
4 addpath 'C:\Projects\personal\przejsciowka\matlab\Input_data'
5
6 r_fname = 'rand_in.txt';
7 r_path = fullfile(pwd,"Input_data","Query_points",r_fname);
8 rq_in = readmatrix(r_path);
9 clear r_fname r_path
10
11 r_fname = 'rand_out.txt';
12 r_path = fullfile(pwd,"Input_data","Query_points",r_fname);
13 rq_out = readmatrix(r_path);
14 clear r_fname r_path
15
16 V_fpath_20 = fullfile(pwd,"Input_data","Potential_data",
17   "poly_V_rand_in20.txt");
17 V_fpath_80 = fullfile(pwd,"Input_data","Potential_data",
18   "poly_V_rand_in80.txt");
18 V_fpath_320 = fullfile(pwd,"Input_data","Potential_data",
19   "poly_V_rand_in320.txt");
19 V_fpath_1280 = fullfile(pwd,"Input_data","Potential_data",
20   "poly_V_rand_in1280.txt");
20
21 V20_in = readmatrix(V_fpath_20);
22 V20_in = V20_in(:,4);
23 V80_in = readmatrix(V_fpath_80);
24 V80_in = V80_in(:,4);
25 V320_in = readmatrix(V_fpath_320);
26 V320_in = V320_in(:,4);
27 V1280_in = readmatrix(V_fpath_1280);
28 V1280_in = V1280_in(:,4);
29

```

```

30 V_fpath_20 = fullfile(pwd,"Input_data","Potential_data","");
31     poly_V_rand_out20.txt");
32 V_fpath_80 = fullfile(pwd,"Input_data","Potential_data","");
33     poly_V_rand_out80.txt");
34 V_fpath_320 = fullfile(pwd,"Input_data","Potential_data","");
35     poly_V_rand_out320.txt");
36 V_fpath_1280 = fullfile(pwd,"Input_data","Potential_data","");
37     poly_V_rand_out1280.txt");
38
39 V20_out = readmatrix(V_fpath_20);
40 V20_out = V20_out(:,4);
41 V80_out = readmatrix(V_fpath_80);
42 V80_out = V80_out(:,4);
43 V320_out = readmatrix(V_fpath_320);
44 V320_out = V320_out(:,4);
45 V1280_out = readmatrix(V_fpath_1280);
46 V1280_out = V1280_out(:,4);
47
48 a = 1; % radius
49 M = 4/3 * pi * a^3; % mass of a sphere
50 G = 6.6743e-11; % gravitational constant
51 for i = 1:length(rq_in(:,1))
52     r = norm(rq_in(i,:));
53     if r > 1
54         V_in(i) = -G*M/r;
55     else
56         V_in(i) = -G*M* (3*a^2 - r^2)/(2*a^3);
57     end
58 end
59 for i = 1:length(rq_out(:,1))
60     r = norm(rq_out(i,:));
61     if r > 1
62         V_out(i) = -G*M/r;
63     else
64         V_out(i) = -G*M* (3*a^2 - r^2)/(2*a^3);
65     end
66 end
67 V_in = V_in';
68 V_out = V_out';
69
70 err_20_in = mean(abs(V20_in-V_in)./abs(V_in));
71 err_80_in = mean(abs(V80_in-V_in)./abs(V_in));
72 err_320_in = mean(abs(V320_in-V_in)./abs(V_in));
73 err_1280_in = mean(abs(V1280_in-V_in)./abs(V_in));
74
75 err_20_out = mean(abs(V20_out-V_out)./abs(V_out));
76 err_80_out = mean(abs(V80_out-V_out)./abs(V_out));

```

```

73 err_320_out = mean(abs(V320_out-V_out)./abs(V_out));
74 err_1280_out = mean(abs(V1280_out-V_out)./abs(V_out));
75
76 faces = [20, 80, 320, 1280];
77 err_in = [err_20_in, err_80_in, err_320_in, err_1280_in];
78 err_out = [err_20_out, err_80_out, err_320_out, err_1280_out];
79
80 f1 = figure();
81 f1.Position = [100 100 1200 500];
82 tiledlayout(1,2);
83 nexttile;
84 scatter(faces,err_in,'filled','red');
85 title('Points inside the sphere');
86 ylabel('Mean relative error');
87 xlabel('Number of faces');
88 grid on;
89 nexttile;
90 scatter(faces,err_out,'filled','red');
91 title('Points outside the sphere');
92 ylabel('Mean relative error');
93 xlabel('Number of faces');
94 grid on;
95
96 t_in = [0.97, 3.63, 14.41, 57.71];
97 t_out = [1.20, 3.81, 15.22, 58.46];
98
99 f2 = figure();
100 f2.Position = [100 100 1200 500];
101 tiledlayout(1,2);
102 nexttile;
103 scatter(faces,t_in,'filled','red');
104 title('Points inside the sphere');
105 ylabel('Time of calculation [s]');
106 xlabel('Number of faces');
107 grid on;
108 nexttile;
109 scatter(faces,t_out,'filled','red');
110 title('Points outside the sphere');
111 ylabel('Time of calculation [s]');
112 xlabel('Number of faces');
113 grid on;

```

```

1 clear;
2 close all;
3 addpath 'C:\Projects\personal\przejsciowka\matlab\Functions'
4 addpath 'C:\Projects\personal\przejsciowka\matlab\Input_data'
5

```

```

6 r_fname = 'rand_in.txt';
7 r_path = fullfile(pwd,"Input_data","Query_points",r_fname);
8 rq = readmatrix(r_path);
9 clear r_fname r_path
10
11
12 %% Reading model
13 model_fname = 'sphere20.stl';
14 cd_splitted = split(fullfile('fullpath'), '\');
15 model_path = fullfile(cd_splitted{1:end-2}, "model3d",
16 model_fname);
17 model_temp = stlread(model_path);
18 model20 = triangulation(model_temp.ConnectivityList, model_temp.
19 Points);
20 clear model_fname cd_splitted model_path model_temp centroid
21
22 model_fname = 'sphere80.stl';
23 cd_splitted = split(fullfile('fullpath'), '\');
24 model_path = fullfile(cd_splitted{1:end-2}, "model3d",
25 model_fname);
26 model_temp = stlread(model_path);
27 model80 = triangulation(model_temp.ConnectivityList, model_temp.
28 Points);
29 clear model_fname cd_splitted model_path model_temp centroid
30
31 model_fname = 'sphere320.stl';
32 cd_splitted = split(fullfile('fullpath'), '\');
33 model_path = fullfile(cd_splitted{1:end-2}, "model3d",
34 model_fname);
35 model_temp = stlread(model_path);
36 model320 = triangulation(model_temp.ConnectivityList, model_temp.
37 .Points);
38 clear model_fname cd_splitted model_path model_temp centroid
39
40 model_fname = 'sphere1280.stl';
41 cd_splitted = split(fullfile('fullpath'), '\');
42 model_path = fullfile(cd_splitted{1:end-2}, "model3d",
43 model_fname);
44 model_temp = stlread(model_path);
45 model1280 = triangulation(model_temp.ConnectivityList,
46 model_temp.Points);
47 clear model_fname cd_splitted model_path model_temp centroid
48
49 %% Creating objects
50 poly20 = polyhedron_obj(model20);
51 poly80 = polyhedron_obj(model80);
52 poly320 = polyhedron_obj(model320);

```

```

45 poly1280 = polyhedron_obj(model1280);
46
47 %% Calculating potential
48 bulk_density = 1;
49
50 tic
51 poly20.calculate(rq,bulk_density);
52 t20 = toc
53 tic
54 poly80.calculate(rq,bulk_density);
55 t80 = toc
56 tic
57 poly320.calculate(rq,bulk_density);
58 t320 = toc
59 tic
60 poly1280.calculate(rq,bulk_density);
61 t1280 = toc
62
63 poly20.write_V('rand_in20');
64 poly80.write_V('rand_in80');
65 poly320.write_V('rand_in320');
66 poly1280.write_V('rand_in1280');
67
68
69
70
71 % f1 = figure();
72 % scatter3(rq(:,1),rq(:,2),rq(:,3),'filled','red');
73 % hold on;
74 % [x_s,y_s,z_s] = sphere;
75 % surf(x_s,y_s,z_s,'FaceAlpha',0.2);
76 % xlim([a,b]);
77 % ylim([a,b]);
78 % zlim([a,b]);
79 % daspect([1 1 1]);

```

```

1 clear;
2 % close all;
3 addpath 'C:\Projects\personal\przejsciowka\matlab\Functions'
4 addpath 'C:\Projects\personal\przejsciowka\matlab\Input_data'
5
6 %% Reading model
7 model_fname = 'sphere20.stl';
8 cd_splitted = split(mfilename('fullpath'), '\');
9 model_path = fullfile(cd_splitted{1:end-2}, "model3d",
10                         model_fname);
model_temp = stlread(model_path);

```

```

11 model20 = triangulation(model_temp.ConnectivityList,model_temp.
12 Points);
13 clear model_fname cd_splitted model_path model_temp centroid
14
15 model_fname = 'sphere80.stl';
16 cd_splitted = split(fullfile('fullpath'), '\');
17 model_path = fullfile(cd_splitted{1:end-2}, "model3d",
18 model_fname);
19 model_temp = stlread(model_path);
20 model80 = triangulation(model_temp.ConnectivityList,model_temp.
21 Points);
22 clear model_fname cd_splitted model_path model_temp centroid
23
24 model_fname = 'sphere320.stl';
25 cd_splitted = split(fullfile('fullpath'), '\');
26 model_path = fullfile(cd_splitted{1:end-2}, "model3d",
27 model_fname);
28 model_temp = stlread(model_path);
29 model320 = triangulation(model_temp.ConnectivityList,model_temp.
30 .Points);
31 clear model_fname cd_splitted model_path model_temp centroid
32
33 model_fname = 'sphere1280.stl';
34 cd_splitted = split(fullfile('fullpath'), '\');
35 model_path = fullfile(cd_splitted{1:end-2}, "model3d",
36 model_fname);
37 model_temp = stlread(model_path);
38 model1280 = triangulation(model_temp.ConnectivityList,
39 model_temp.Points);
40 clear model_fname cd_splitted model_path model_temp centroid
41
42 %% Creating objects
43 poly20 = polyhedron_obj(model20);
44 poly80 = polyhedron_obj(model80);
45 poly320 = polyhedron_obj(model320);
46 poly1280 = polyhedron_obj(model1280);
47
48 %% Creating query points
49 x = linspace(-3,3,30); % m
50 y = x;
51 [X,Y] = meshgrid(x);
52 rq = [X(:,1),Y(:,1),zeros(length(X(:,1)),1)];
53
54 %% Calculating potential
55 bulk_density = 1;
56
57 poly20.calculate(rq,bulk_density);

```

```

51 poly80.calculate(rq,bulk_density);
52 poly320.calculate(rq,bulk_density);
53 poly1280.calculate(rq,bulk_density);
54
55 poly20.write_V('20');
56 poly80.write_V('80');
57 poly320.write_V('320');
58 poly1280.write_V('1280');
59
60
61 %
62 % % V_scale = 4*10^9;
63 % V_scale = 1;
64 %
65 % x = linspace(-3,3,20); % m
66 % y = x;
67 % [X,Y] = meshgrid(x);
68 % rq = [X(:,1),Y(:,1),zeros(length(X(:,1)),1)];
69 %
70 % polyhedron_method = polyhedron_obj(model);
71 % polyhedron_method.calculate(rq,1);
72 % polyhedron_method.plot_V(rq,V_scale,'Units','m');
73 %
74 %
75 % a = 1;
76 % M = 4/3 * pi * a^3;
77 % G = 6.6743e-11;
78 % for i = 1:length(rq(:,1))
79 %     r = norm(rq(i,:));
80 %     if r > 1
81 %         V(i) = -G*M/r;
82 %     else
83 %         V(i) = -G*M* (3*a^2 - r^2)/(2*a^3);
84 %     end
85 % end
86 % V_sar = reshape(V,[length(x),length(x)]) * V_scale;
87 % hold on;
88 % surf(X,Y,V_sar,'FaceAlpha',0.5);

```

```

1 close all;
2 clear;
3
4 %% Initial data (TODO in json file)
5 % Asteroid data
6 model_fname = "Kleopatra_Ostro.stl";
7 bulk_density = 3600; % kg/m^3
8

```

```

9 % Field query points
10 x = linspace(-300000,300000,30); % m
11 y = x;
12 [X,Y] = meshgrid(x);
13 r = [X(:,1),Y(:,1),zeros(length(X(:,1)),1)];
14
15 % Polyhedron method configuration
16 unit_scale = 1000; % for models provided not in meters
17
18 % Plotting configuration
19 plot_unit = 'km'; % units of plots (km or m)
20 V_scale = 10^2; % scale of the potential plot
21
22 %% Main section
23 % Creating mascons model
24 polyhedron_method = polyhedron_obj(model_fname,unit_scale);
25 % Calculating gravitational potential
26 polyhedron_method.calculate(r,bulk_density);
27 % Plotting results
28 polyhedron_method.plot_V(r,V_scale,'Units',plot_unit);

```

```

1 clear;
2 close all;
3
4 unit_scale = 1000;
5
6 model_fname = 'Kleopatra_Ostro.stl';
7 cd_splitted = split(mfilename('fullpath'), '\');
8 model_path = fullfile(cd_splitted{1:end-2}, "model3d",
9 model_fname);
10 model_temp = stlread(model_path);
11 model_temp = triangulation(model_temp.ConnectivityList,
12 model_temp.Points * unit_scale);
13 centroid = calculate_centroid(model_temp);
14 model = triangulation(model_temp.ConnectivityList, model_temp.
15 Points - centroid);
16 clear model_fname cd_splitted model_path model_temp centroid
17
18 model_new.vertices = model.Points;
19 model_new.faces = model.ConnectivityList;
20 for i = 1:length(model.Points(:,1))
21     dist(i) = norm(model.Points(i,:));
22 end
23 dist_max = max(dist);

```

```

1 clear;
2 close all;

```

```

3      addpath 'C:\Projects\personal\przejsciowka\matlab\Functions'
4      addpath 'C:\Projects\personal\przejsciowka\matlab\Input_data\
5          Coefs'
6
7      r_fname = 'rand_kleo.txt';
8      r_path = fullfile(pwd,"Input_data","Query_points",r_fname);
9      rq = readmatrix(r_path);
10     clear r_fname r_path
11
12     unit_scale = 1000;
13
14     model_fname = 'Kleopatra_Ostro.stl';
15     cd_splitted = split(mfilename('fullpath'), '\');
16     model_path = fullfile(cd_splitted{1:end-2}, "model3d",
17         model_fname);
18     model_temp = stlread(model_path);
19     model_temp = triangulation(model_temp.ConnectivityList,
20         model_temp.Points * unit_scale);
21     centroid = calculate_centroid(model_temp);
22     model = triangulation(model_temp.ConnectivityList, model_temp.
23         Points - centroid);
24     clear model_fname cd_splitted model_path model_temp centroid
25
26     n = [4, 10, 50];
27     bulk_density = 3600;
28     a = 1.144612198106038e+05;
29
30     sh1 = spherical_harmonics_obj(model,bulk_density,n(1),a);
31     sh2 = spherical_harmonics_obj(model,bulk_density,n(2),a);
32     sh3 = spherical_harmonics_obj(model,bulk_density,n(3),a);
33
34     sh1.read_coefs_werner();
35     sh2.read_coefs_werner();
36     sh3.read_coefs_werner();
37
38     tic
39     sh1.calculate(sh1.C_nm,sh1.S_nm,rq);
40     t10 = toc
41     tic
42     sh2.calculate(sh2.C_nm,sh2.S_nm,rq);
43     t30 = toc
44     tic
45     sh3.calculate(sh3.C_nm,sh3.S_nm,rq);
46     t50 = toc
47
48     sh1.write_V('kleo_coef_4');
49     sh2.write_V('kleo_coef_10');

```

```
46 sh3.write_V('kleo_coef_50');
```

```
1 clear;
2 close all;
3 addpath 'C:\Projects\personal\przejsciowka\matlab\Functions'
4 addpath 'C:\Projects\personal\przejsciowka\matlab\Input_data'
5 addpath 'C:\Projects\personal\przejsciowka\matlab\Input_data\
6     Potential_data\'  
7  
7 r_fname = 'rand_out.txt';
8 r_path = fullfile(pwd,"Input_data","Query_points",r_fname);
9 rq_out = readmatrix(r_path);
10 clear r_fname r_path  
11  
12  
13 V_fpath_20 = fullfile(pwd,"Input_data","Potential_data","");
14     sh_V_rand_mesh_20.txt");
14 V_fpath_80 = fullfile(pwd,"Input_data","Potential_data","");
15     sh_V_rand_mesh_80.txt");
15 V_fpath_320 = fullfile(pwd,"Input_data","Potential_data","");
16     sh_V_rand_mesh_320.txt");
16 V_fpath_1280 = fullfile(pwd,"Input_data","Potential_data","");
17     sh_V_rand_mesh_1280.txt");  
18  
18 V20 = readmatrix(V_fpath_20);
19 V20 = -V20(:,4);
20 V80 = readmatrix(V_fpath_80);
21 V80 = -V80(:,4);
22 V320 = readmatrix(V_fpath_320);
23 V320 = -V320(:,4);
24 V1280 = readmatrix(V_fpath_1280);
25 V1280 = -V1280(:,4);  
26  
27 a = 1; % radius
28 M = 4/3 * pi * a^3; % mass of a sphere
29 G = 6.6743e-11; % gravitational constant
30 for i = 1:length(rq_out(:,1))
31     r = norm(rq_out(i,:));
32     if r > 1
33         V_out(i) = -G*M/r;
34     else
35         V_out(i) = -G*M* (3*a^2 - r^2)/(2*a^3);
36     end
37 end
38 V_out = V_out';
39  
40 err_20 = mean(abs(V20-V_out)./abs(V_out));
```

```

41 err_80 = mean(abs(V80-V_out)./abs(V_out));
42 err_320 = mean(abs(V320-V_out)./abs(V_out));
43 err_1280 = mean(abs(V1280-V_out)./abs(V_out));
44
45 faces = [20, 80, 320, 1280];
46 err_out = [err_20, err_80, err_320, err_1280];
47
48 f1 = figure();
49 f1.Position = [100 100 1000 500];
50 scatter(faces,err_out,'filled','red');
51 title('Points outside the sphere');
52 ylabel('Mean relative error');
53 xlabel('Number of faces');
54 grid on;
55
56 t_out = [0.0357, 0.0344, 0.0347, 0.0349];
57
58 f2 = figure();
59 f2.Position = [100 100 1000 500];
60 scatter(faces,t_out,'filled','red');
61 title('Points outside the sphere');
62 ylabel('Time of calculation [s]');
63 xlabel('Number of faces');
64 grid on;

```

```

1 clear;
2 close all;
3 addpath 'C:\Projects\personal\przejsciowka\matlab\Functions'
4 addpath 'C:\Projects\personal\przejsciowka\matlab\Input_data'
5
6 r_fname = 'rand_out.txt';
7 r_path = fullfile(pwd,"Input_data","Query_points",r_fname);
8 rq_out = readmatrix(r_path);
9 clear r_fname r_path
10
11
12 V_fpath_10 = fullfile(pwd,"Input_data","Potential_data",
13                         "sh_V_rand_coef_1.txt");
13 V_fpath_20 = fullfile(pwd,"Input_data","Potential_data",
14                         "sh_V_rand_coef_2.txt");
14 V_fpath_30 = fullfile(pwd,"Input_data","Potential_data",
15                         "sh_V_rand_coef_3.txt");
15 V_fpath_40 = fullfile(pwd,"Input_data","Potential_data",
16                         "sh_V_rand_coef_4.txt");
16
17 V10 = readmatrix(V_fpath_10);
18 V10 = -V10(:,4);

```

```

19 V20 = readmatrix(V_fpath_20);
20 V20 = -V20(:,4);
21 V30 = readmatrix(V_fpath_30);
22 V30 = -V30(:,4);
23 V40 = readmatrix(V_fpath_40);
24 V40 = -V40(:,4);
25
26 a = 1; % radius
27 M = 4/3 * pi * a^3; % mass of a sphere
28 G = 6.6743e-11; % gravitational constant
29 for i = 1:length(rq_out(:,1))
30     r = norm(rq_out(i,:));
31     if r > 1
32         V_out(i) = -G*M/r;
33     else
34         V_out(i) = -G*M* (3*a^2 - r^2)/(2*a^3);
35     end
36 end
37 V_out = V_out';
38
39 err_10 = mean(abs(V10-V_out)./abs(V_out));
40 err_20 = mean(abs(V20-V_out)./abs(V_out));
41 err_30 = mean(abs(V30-V_out)./abs(V_out));
42 err_40 = mean(abs(V40-V_out)./abs(V_out));
43
44 faces = [2, 6, 12, 20];
45 err_out = [err_10, err_20, err_30, err_40];
46
47 f1 = figure();
48 f1.Position = [100 100 1000 500];
49 scatter(faces,err_out,'filled','red');
50 title('Points outside the sphere');
51 ylabel('Mean relative error');
52 xlabel('Degree');
53 grid on;
54
55 t_out = [0.0043, 0.016, 0.0455, 0.1096];
56
57 f2 = figure();
58 f2.Position = [100 100 1000 500];
59 scatter(faces,t_out,'filled','red');
60 title('Points outside the sphere');
61 ylabel('Time of calculation [s]');
62 xlabel('Degree');
63 grid on;
64
65 rqn = vecnorm(rq_out,2,2);

```

```

66     err_sh = abs(V40-V_out)./abs(V_out);
67     f3 = figure();
68     scatter(rqn,err_sh);
69     grid on;

```

```

1 clear;
2 close all;
3 addpath 'C:\Projects\personal\przejsciowka\matlab\Functions'
4 addpath 'C:\Projects\personal\przejsciowka\matlab\Input_data'
5
6 r_fname = 'rand_out.txt';
7 r_path = fullfile(pwd,"Input_data","Query_points",r_fname);
8 rq = readmatrix(r_path);
9 clear r_fname r_path
10
11
12 %% Reading model
13
14
15 model_fname = 'sphere320.stl';
16 cd_splitted = split(mfilename('fullpath'), '\');
17 model_path = fullfile(cd_splitted{1:end-2}, "model3d",
18     model_fname);
19 model_temp = stlread(model_path);
20 model = triangulation(model_temp.ConnectivityList, model_temp.
21     Points);
22 clear model_fname cd_splitted model_path model_temp centroid
23
24 n = [2, 6, 12, 20];
25 bulk_density = 1;
26 a = 1;
27 sh1 = spherical_harmonics_obj(model, bulk_density, n(1), a);
28 sh1.calculate_coefs();
29 sh2 = spherical_harmonics_obj(model, bulk_density, n(2), a);
30 sh2.calculate_coefs();
31 sh3 = spherical_harmonics_obj(model, bulk_density, n(3), a);
32 sh3.calculate_coefs();
33 sh4 = spherical_harmonics_obj(model, bulk_density, n(4), a);
34 sh4.calculate_coefs();
35
36 %% Calculate V
37 tic
38 sh1.calculate(sh1.C_nm, sh1.S_nm, rq);
39 t10 = toc
40 tic
41 sh2.calculate(sh2.C_nm, sh2.S_nm, rq);
42 t20 = toc

```

```

41    tic
42    sh3.calculate(sh3.C_nm,sh3.S_nm,rq);
43    t30 = toc
44    tic
45    sh4.calculate(sh4.C_nm,sh4.S_nm,rq);
46    t40 = toc
47
48    sh1.write_V('rand_coef_1');
49    sh2.write_V('rand_coef_2');
50    sh3.write_V('rand_coef_3');
51    sh4.write_V('rand_coef_4');

```

```

1    clear;
2    close all;
3    addpath 'C:\Projects\personal\przejsciowka\matlab\Functions'
4    addpath 'C:\Projects\personal\przejsciowka\matlab\Input_data'
5
6    r_fname = 'rand_out.txt';
7    r_path = fullfile(pwd,"Input_data","Query_points",r_fname);
8    rq = readmatrix(r_path);
9    clear r_fname r_path
10
11
12    %% Reading model
13    model_fname = 'sphere20.stl';
14    cd_splitted = split(mfilename('fullpath'), '\');
15    model_path = fullfile(cd_splitted{1:end-2}, "model3d",
16        model_fname);
17    model_temp = stlread(model_path);
18    model20 = triangulation(model_temp.ConnectivityList, model_temp.
19        Points);
20    clear model_fname cd_splitted model_path model_temp centroid
21
22    model_fname = 'sphere80.stl';
23    cd_splitted = split(mfilename('fullpath'), '\');
24    model_path = fullfile(cd_splitted{1:end-2}, "model3d",
25        model_fname);
26    model_temp = stlread(model_path);
27    model80 = triangulation(model_temp.ConnectivityList, model_temp.
28        Points);
29    clear model_fname cd_splitted model_path model_temp centroid
30
31    model_fname = 'sphere320.stl';
32    cd_splitted = split(mfilename('fullpath'), '\');
33    model_path = fullfile(cd_splitted{1:end-2}, "model3d",
34        model_fname);
35    model_temp = stlread(model_path);

```

```

31 model320 = triangulation(model_temp.ConnectivityList,model_temp
32     .Points);
33 clear model_fname cd_splitted model_path model_temp centroid
34
35 model_fname = 'sphere1280.stl';
36 cd_splitted = split(fullfile('fullpath'), '\');
37 model_path = fullfile(cd_splitted{1:end-2}, "model3d",
38     model_fname);
39 model_temp = stlread(model_path);
40 model1280 = triangulation(model_temp.ConnectivityList,
41     model_temp.Points);
42 clear model_fname cd_splitted model_path model_temp centroid
43
44 %% Creating objects
45
46 n = 10;
47 bulk_density = 1;
48 a = 1;
49 sh20 = spherical_harmonics_obj(model20,bulk_density,n,a);
50 sh20.calculate_coefs();
51 sh80 = spherical_harmonics_obj(model80,bulk_density,n,a);
52 sh80.calculate_coefs();
53 sh320 = spherical_harmonics_obj(model320,bulk_density,n,a);
54 sh320.calculate_coefs();
55 sh1280 = spherical_harmonics_obj(model1280,bulk_density,n,a);
56 sh1280.calculate_coefs();
57
58 %% Calculating potential
59
60 tic
61 sh20.calculate(sh20.C_nm,sh20.S_nm,rq);
62 t20 = toc
63 tic
64 sh80.calculate(sh80.C_nm,sh80.S_nm,rq);
65 t80 = toc
66 tic
67 sh320.calculate(sh320.C_nm,sh320.S_nm,rq);
68 t320 = toc
69 tic
70 sh1280.calculate(sh1280.C_nm,sh1280.S_nm,rq);
71 t1280 = toc
72
73 sh20.write_V('rand_mesh_20');
74 sh80.write_V('rand_mesh_80');
75 sh320.write_V('rand_mesh_320');
76 sh1280.write_V('rand_mesh_1280');

```

```

75
76
77
78
79 % f1 = figure();
80 % scatter3(rq(:,1),rq(:,2),rq(:,3),'filled','red');
81 % hold on;
82 % [x_s,y_s,z_s] = sphere;
83 % surf(x_s,y_s,z_s,'FaceAlpha',0.2);
84 % xlim([a,b]);
85 % ylim([a,b]);
86 % zlim([a,b]);
87 % daspect([1 1 1]);

```

```

1 clear;
2 % close all;
3 addpath 'C:\Projects\personal\przejsciowka\matlab\Functions'
4 addpath 'C:\Projects\personal\przejsciowka\matlab\Input_data'
5
6 %% Reading model
7 model_fname = 'sphere20.stl';
8 cd_splitted = split(fullfile('fullpath'), '\');
9 model_path = fullfile(cd_splitted{1:end-2}, "model3d",
10 model_fname);
11 model_temp = stlread(model_path);
12 model20 = triangulation(model_temp.ConnectivityList, model_temp.
13 Points);
14 clear model_fname cd_splitted model_path model_temp centroid
15
16 model_fname = 'sphere80.stl';
17 cd_splitted = split(fullfile('fullpath'), '\');
18 model_path = fullfile(cd_splitted{1:end-2}, "model3d",
19 model_fname);
20 model_temp = stlread(model_path);
21 model80 = triangulation(model_temp.ConnectivityList, model_temp.
22 Points);
23 clear model_fname cd_splitted model_path model_temp centroid
24
25 model_fname = 'sphere320.stl';
26 cd_splitted = split(fullfile('fullpath'), '\');
27 model_path = fullfile(cd_splitted{1:end-2}, "model3d",
model_fname);
model_temp = stlread(model_path);
model320 = triangulation(model_temp.ConnectivityList, model_temp.
.Points);
clear model_fname cd_splitted model_path model_temp centroid

```

```

28     model_fname = 'sphere1280.stl';
29     cd_splitted = split(fullfile('fullpath'), '\');
30     model_path = fullfile(cd_splitted{1:end-2}, "model3d",
31                           model_fname);
32     model_temp = stlread(model_path);
33     model1280 = triangulation(model_temp.ConnectivityList,
34                                model_temp.Points);
35     clear model_fname cd_splitted model_path model_temp centroid
36
37 %% Creating query points
38 x = linspace(-3,3,30); % m
39 y = x;
40 [X,Y] = meshgrid(x);
41 rq = [X(:),Y(:),zeros(length(X(:)),1)];
42
43 %% Creating objects
44
45 n = 10;
46 bulk_density = 1;
47 a = 1;
48
49 sh_method_20 = spherical_harmonics_obj(model20,bulk_density,n,a);
50 sh_method_20.calculate_coefs();
51 sh_method_20.calculate(sh_method.C_nm,sh_method.S_nm,rq);
52 sh_method_20.plot_V(rq,V_scale,'Units','m');
53
54 M = 4/3 * pi * a^3;
55 G = 6.6743e-11;
56 for i = 1:length(rq(:,1))
57     r = norm(rq(i,:));
58     if r > 1
59         V(i) = -G*M/r;
60     else
61         V(i) = -G*M*(3*a^2 - r^2)/(2*a^3);
62     end
63 end
64 V_sar = reshape(V,[length(x),length(x)]) * V_scale;
65 hold on;
66 surf(X,Y,V_sar,'FaceAlpha',0.5);

```

```

1 clear;
2 close all;
3 addpath 'C:\Projects\personal\przejsciowka\matlab\Functions'
4 addpath 'C:\Projects\personal\przejsciowka\matlab\Input_data'
5

```

```

6 r_fname = 'rand_out.txt';
7 r_path = fullfile(pwd,"Input_data","Query_points",r_fname);
8 rq_out = readmatrix(r_path);
9 clear r_fname r_path
10
11 V_fpath_40 = fullfile(pwd,"Input_data","Potential_data","");
12     sh_V_rand_coef_4.txt");
12 V_fpath_4 = fullfile(pwd,"Input_data","Potential_data","");
13     mass_V_rand_out4.txt");
14
15 V4_out = readmatrix(V_fpath_4);
16 V4_out = V4_out(:,4);
17
18 V40 = readmatrix(V_fpath_40);
19 V40 = -V40(:,4);
20 a = 1; % radius
21 M = 4/3 * pi * a^3; % mass of a sphere
22 G = 6.6743e-11; % gravitational constant
23 for i = 1:length(rq_out(:,1))
24     r = norm(rq_out(i,:));
25     if r > 1
26         V_out(i) = -G*M/r;
27     else
28         V_out(i) = -G*M* (3*a^2 - r^2)/(2*a^3);
29     end
30 end
31 V_out = V_out';
32
33
34
35 err_sh = abs(V40-V_out)./abs(V_out);
36
37 rqn = vecnorm(rq_out,2,2);
38 err_mass = abs(V4_out-V_out)./abs(V_out);
39 f3 = figure();
40 scatter(rqn,err_mass);
41 hold on;
42 scatter(rqn,err_sh);
43 grid on;
44 legend('Point masses','Spherical Harmonics');

```

```

1 close all;
2 clear;
3 addpath 'C:\Projects\personal\przejsciowka\matlab\Functions'
4 addpath 'C:\Projects\personal\przejsciowka\matlab\Input_data'
5

```

```

6    %% Initial data (TODO in json file)
7    % Asteroid data
8    model_fname = "sphere20.stl";
9    bulk_density = 1; % kg/m^3
10
11    % Field query points
12    x = linspace(-300000,300000,30); % m
13    y = x;
14    [X,Y] = meshgrid(x);
15    r = [X(:,1),Y(:,1),-6e+4 * ones(length(X(:,1)),1)];
16
17    % Spherical_harmonics method configuration
18    unit_scale = 1000; % for models provided not in meters
19
20    % Plotting configuration
21    plot_unit = 'm'; % units of plots (km or m)
22    V_scale = 10^10; % scale of the potential plot
23
24    %% Main section
25    % Creating mascons model
26    spherical_harmonics_method = spherical_harmonics_obj(
27        model_fname,unit_scale,bulk_density,3,1.144612198106038e+05)
28        ;
29    spherical_harmonics_method.calculate_coefs(bulk_density,
30        centroid);
31
32    % Point masses method
33    % mas_r = 5000;
34    % mascons_method = mascons_obj(model_fname,mas_r,unit_scale,
35    %     bulk_density);
36    % spherical_harmonics_method.calculate_coefs_point_masses(
37    %     centroid,mascons_method.points,mascons_method.M_i);
38
39    spherical_harmonics_method.calculate(spherical_harmonics_method
40        .C_nm,spherical_harmonics_method.S_nm,r,centroid);
41
42    spherical_harmonics_method.plot_V(r,V_scale,'Units',plot_unit);

```

```

1 close all; clear;
2
3 tri1 = make_trinomial(1);
4 tri2 = make_trinomial(2);
5
6 tri3 = tri_mult(tri1, tri2);
7
8 integration = integrate_simplex(tri3,2);
9

```

```

10  function tri = make_trinomial(n)
11      t = (n+2)*(n+1)*0.5;
12      tri = zeros(1,t);
13      for i = n:-1:0
14          for k = 0:(n-i)
15              j = n-i-k;
16              index = (j+k)*(j+k+1)/2 + k + 1;
17              coef = factorial(n)/(factorial(i)*factorial(j)*
18                  factorial(k));
19              tri(index) = coef;
20          end
21      end
22
23  function tri_result = tri_mult(tri1, tri2)
24      n1 = (-3+sqrt(9-(8*(1-length(tri1)))))/2;
25      n2 = (-3+sqrt(9-(8*(1-length(tri2)))))/2;
26      n = n1 + n2;
27      t_result = (n+2)*(n+1)*0.5;
28      tri_result = zeros(1,t_result);
29      for i = n1:-1:0
30          for k = 0:(n1-i)
31              j = n1-i-k;
32              for r = n2:-1:0
33                  for s = 0:(n2-r)
34                      t = n2-r-s;
35                      index = (j+s+k+t)*(j+s+k+t+1)/2 + k + t +
36                          1;
37                      index1 = (j+k)*(j+k+1)/2 + k + 1;
38                      index2 = (s+t)*(s+t+1)/2 + t + 1;
39                      tri_result(index) = tri_result(index) +
40                          tri1(index1) * tri2(index2);
41                  end
42              end
43          end
44
45  function int_result = integrate_simplex(tri, det_J)
46      n = (-3+sqrt(9-(8*(1-length(tri)))))/2;
47      for i = n:-1:0
48          for k = 0:(n-i)
49              j = n-i-k;
50              index = (j+k)*(j+k+1)/2 + k + 1;
51              mix_factor = factorial(i)*factorial(j)*factorial(k)
52                  /factorial(n+3);
53              tri(index) = tri(index)*mix_factor;

```

```

53         end
54     end
55     int_result = det_J * sum(tri);
56 end

```

```

1 close all;
2 clear;
3
4 C50 = readmatrix('C_werner_50.txt');
5 S50 = readmatrix('S_werner_50.txt');
6
7 C4 = C50(1:5,1:5);
8 S4 = S50(1:5,1:5);
9
10 C10 = C50(1:11,1:11);
11 S10 = S50(1:11,1:11);
12
13 writematrix(C4,'C_werner_4.txt');
14 writematrix(S4,'S_werner_4.txt');
15 writematrix(C10,'C_werner_10.txt');
16 writematrix(S10,'S_werner_10.txt');

```

```

1 clear;
2 close all;
3 addpath 'C:\Projects\personal\przejsciowka\matlab\Functions'
4 addpath 'C:\Projects\personal\przejsciowka\matlab\Input_data'
5
6 a = -200000;
7 b = 200000;
8 n = 100;
9
10 [rq, rqn, i] = gen_points(a,b,n,"out",1.144612198106038e+05);
11
12 writematrix(rq,"rand_kleo.txt");

```

```

1 clear;
2 close all;
3
4 x = linspace(-300000,300000,30); % m
5 y = x;
6 [X,Y] = meshgrid(x);
7 r = [X(:,1),Y(:,1),-6e+4 * ones(length(X(:,1)),1)];
8
9 writematrix(r,"test.txt");

```

Bibliografia

- [1] NASA/JPL/JHUAPL. *Zdjęcie asteroidy (433) Eros*. 2000. URL: [https://commons.wikimedia.org/wiki/File:Eros_-_PIA02923_\(color\).jpg](https://commons.wikimedia.org/wiki/File:Eros_-_PIA02923_(color).jpg).
- [2] VSO Very Large Telescope SPHERE/ZIMPOL team. *Zdjęcie asteroidy (216) Kleopatra*. 2021. URL: [https://pl.wikipedia.org/wiki/Plik:216_Kleopatra_VLT_\(2021\)_-_deconvolved.pdf](https://pl.wikipedia.org/wiki/Plik:216_Kleopatra_VLT_(2021)_-_deconvolved.pdf).
- [3] NASA/JPL. *Model asteroidy (216) Kleopatra*. 2021. URL: <https://3d-asteroids.space/asteroids/216-Kleopatra>.
- [4] Robert Werner i D. Scheeres. “Exterior Gravitation of a Polyhedron Derived and Compared with Harmonic and Mascon Gravitation Representations of Asteroid 4769 Castalia”. *Celestial Mechanics and Dynamical Astronomy* 65 (wrz. 1996), s. 313–344. DOI: 10.1007/BF00053511.
- [5] Robert A Werner. “Spherical harmonic coefficients for the potential of a constant-density polyhedron”. *Computers & Geosciences* 23.10 (1997), s. 1071–1077.
- [6] Patrick T Wittick i Ryan P Russell. “Mascon models for small body gravity fields”. 162 (2017), s. 17–162.
- [7] Georgia Gavriilidou i Dimitrios Tsoulis. “Evaluation Procedures for the Potential Harmonic Coefficients of a Generally Shaped Polyhedron”. *Surveys in Geophysics* 45.2 (2024), s. 315–348.
- [8] Arunkumar Rathinam i Andrew G Dempster. “Octree-based mascon model for small body gravity fields”. *Journal of Guidance, Control, and Dynamics* 42.11 (2019), s. 2557–2567.
- [9] Wikipedia contributors. *216 Kleopatra — Wikipedia, The Free Encyclopedia*. [Online; accessed 12-September-2024]. 2024. URL: https://en.wikipedia.org/w/index.php?title=216_Kleopatra&oldid=1231129526.
- [10] Wm. Robert Johnston. *(216) Kleopatra, Alexhelios, and Cleoselene*. 2014. URL: <https://www.johnstonsarchive.net/astro/astmoons/am-00216.html>.